

MEDDELELSE FRA NORGES STATSBANER

HEFTE NR. 6

DESEMBER 1928



A/s C. GEIJER & CO.

Etablert 1869

KONTORENE
Stenersgaten
9

FABRIKENE
St. Halvardsgt.
35



Norsk kvalitetsbil „GEIJER“ fra Norges eneste bilfabrikk



En serie på 10 omnibusser til Schøyens Bilcentraler, fra Norges eldste karosserifabrikk.
Vort motto: „Alt av heieste kvalitet.“

Dynamittvarmere

fra 2½—30 kg.s ekstra solide, godt isolerte
(Vor spesialitet gjennem mange år)

Lunte - Knall
Luntetenger
Elektr. Knall og Tennapp.
Dynamittskap
Ladestokker
Skytematter
„Kruskopf“ Forladninger
Praktisk Stenredskap



SKIPPERGATEN 22
Telefon 12564 — Telegr.adr. „Diabor“ - Oslo

Jern, Stål og Anleggssredskap



Caldwells spader
Eneforhandler for Norge

J. H. Bjørklund
OSLO



ETABL. 1823.

JERN STÅL METALLER

RÅMETALLER & VALSEVERKSProdukter

DB kjosper til laveste dagspriser fra vore store kurante lagre.

VI representerer og staar til stadighet i forbindelse med de største og betydeligste valseverkér og leverandører inden ovennævnte brancher.

DB vil derfor faa Dereas ordres plasert meget fordelagtig gjennem os.

Forlang vore prisbøker!

P. SCHREINER SEN. & CO., OSLO

MEDDELELSE

FRA

NORGES STATSBANER

3. ÅRGANG - 1928



OSLO 1928
AAS & WAHLS BOKTRYKKERI

INNHOLDSFORTEGNELSE 1928

Side Hefte	Side Hefte		
Driftsregnskapet for Norges statsbaner 1926—27	1 1	Bro over Kammerfosselven ved Vatfoss st.	43 3
Driftsregnskapet for Norges statsbaner 1. juli 1927—30. juni 1928	87 5	Stockholm centralstasjon 1927 — og litt om Oslo østbanestasjon	49 3
Stereofotogrammetrisk kartlegning av jern- baner	17 1	Litt om jernbaner og jernbanetrafikk	56 3
Oprenskning av stikkrenner	23 1	Malkjøring	62 3
Praktiske sjabloner	24 1	Fra ildsfarligetsinspektørens årsberetning 1926	63 3
Avslutningsrapporter for Dovrebanen og Spirilbanen (kort anmeldelse)	24 1	Litteratur	64 3
Den forestående jernbanebygning, Nordlands- banen (Grong—Smålåsen)	25 2	—»—	128 6
Om trematerialer	33 2	Nordiska Järnvägsmannaselskapet	65 4
—»—	60 3	Redningsvesenet ved jernbaneulykker	67 4
—»—	80 4	Skader på Rørosbanen under isgangen 28. mai til 1. juni 1928	73 4
—»—	104 5	Telefon- og telegraflinjer for statsbanenes elektriske strekninger	77 4
Overbygningen	38 2	Om korrekjon av kurver i gamle jernbane- spor ved hjelp av vinkeldiagrammet	109 6
Kjeosen hvelvbro	39 2	A/S Holmenkolbanens undergrunnsforlengelse 119	6
Norsk sprengstoffindustri A/S	42 2	Pumpeanordning for spyling av borhuller ...	127 6

MEDDELELSE FRA NORGES STATSBANER

HEFTE NR. 6

INNHOLD: Om korreksjon av kurver i gamle jernbanespor. — A/S Holmenkolbanens undergrunnsforlengelse. — Pumpeanordning for spyling av borhuller. — Litteratur.

DESEMBER 1928

OM KORREKSJON AV KURVER I GAMLE JERNBANESPOR VED HJELP AV VINKELDIAGRAMMET

Av baneinspektør *H. Rabstad*.

En kurve i et jernbanespor som har vært trafikert nogen år og i denne tid justert etter øiemål, vil så godt som alltid ha mere eller mindre ujevne krumningsforhold. De for anleggsjusteringen oppsatte gruspeler kommer meget snart i ulage og er som regel kun til hjelp det første året. Fyllinger vil ved synkning lett trekke sig til den ene eller annen side, særlig fyllinger i skråterrenge. Herved vil skinnegangen bli utsatt for sideforskyvninger og må stadig bakses tilbake under vedlikeholdsarbeidet. Som regel må baksingen foretaes helt etter øiemål og det vil være mere eller mindre av en slump, hvor nærmest man kan komme de oprinnelige krumningsforhold i kurvene. Også i skjæringer og tunler vil man hyppig finne betraktelige ujevheter i kurvenes krumningsforhold ved skinnegang, som i nogen år har vært justert helt etter øiemål.

Selv om skinnegangen forøvrig er i den beste stand, med jevn overhøide i hele kurvens lengde, og heller ikke nogen egentlig knekk i sideretningen forekommer, vil allikevel ikke togmateriellet gå støtt gjennem en kurve under sådanne forhold. Krumningsujevnheten vil bevirke støt mot hjulflensene og som følge derav øket påkjenning på materiell og skinnegang. Materiellets ustøt gang er dessuten til ubehag for passasjerene.

Det er vel å anta, at jernbanene i årene fremover vil bli nødt til å gå til betraktelig økning av sine kjøre-hastigheter for å kunne hevde seg i konkurransen med nyere kommunikasjonsmidler. Efterhvert som kjøre-hastigheten økes vil spørsmålet om en mere eksakt justering av skinnegangen — herunder også justering av krumningen i kurver — gjøre sig mere og mere gjeldende. For å opnå eksakt justering av kurver må retningsspeler i kort innbyrdes avstand forefinnes. Ved eldre jernbaner, hvor de oprinnelige gruspeler er forsvunnet eller ikke lenger er å stole på, vil det i den anledning bli nødvendig å foreta ny-utstikning av kurver i stor utstrekning. Spørsmålet om, hvilken stikningsmetode man under sådant arbeide bør betjene seg av, må derfor antaas å være av ganske stor økonomisk betydning.

I det følgende skal beskrives en kurvestikningsmetode som egner sig fortrinlig for sådan re-justering av kurver i eksisterende jernbanespør, og som for dette spesielle øiemed er raskere enn hvilkensomhelst annen eksakt kurvestikningsmetode. Metoden grunner sig riktig nok for en del på antagelser, som kun er tilnærmet riktige, men tilnærmlsen er for alle disse antagelsers vedkommende så stor, at metoden kan betegnes som *eksakt* hvad resultatet angår. Jeg foretok forrige sommer korreksjon av en rekke kurver på Dovrebanen ved hjelp av denne metode og fant at den fullt ut svarte til forventningene.

Metoden kan også med fordel anvendes ved *omstikninger* i hensikt å forbedre horizontaltracéen ved eldre baner, f. eks. hvor det gjelder innlegning av lengre overgangskurver, lengre rettlinjer mellom kontrakurver eller begge disse ting i forening. Likeledes hvor det gjelder innlegning av sporveksel i en kurve og det i den anledning er nødvendig å foreta hel eller delvis omlegning av kurven.

Utførelsen av de for beregningen fornødne forhånds-målinger, samt den etterfølgende utsetning i marken, kan overlates hvilkensomhelst — i nøyaktig lengdemålings-arbeide fullt sikker — stikningsmann. Men den, som skal foreta beregningen må nødvendigvis være fullt fortrolig med metodens matematiske grunnlag for å opnå den for hvert tilfeile mest hensiktsmessige kurvekorrek-sjon.

Først skal redegjøres for metodens matematiske grunnlag, derpå følger beskrivelse av målings- og be-regningsarbeidets utførelse og tilslutt endel eksempler på utførte kurvekorrekssjoner og omstikninger.

1. Fremstilling av metodens matematiske grunnlag.

1. Et gitt kurvestykkes evolvent.

Punkt C (fig. 1) er berøringspunktet mellom en kurve ABC og dens tangent.

Tenker man sig nu punkt C fastsittende på tangenten, mens denne avrulles av kurven (uten å gli) i retning

Fig. 1.

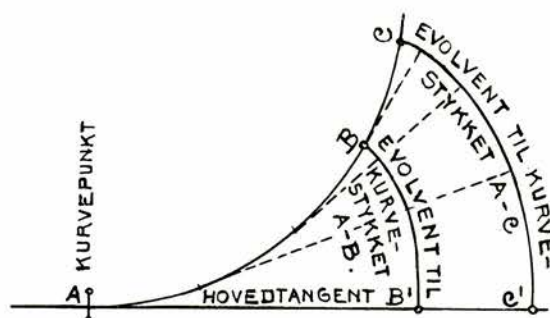


Fig. 2.

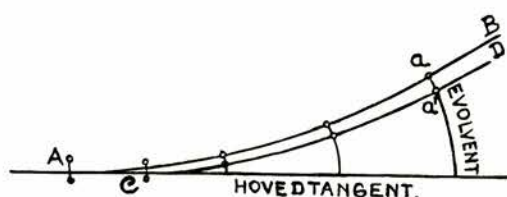


Fig. 3.

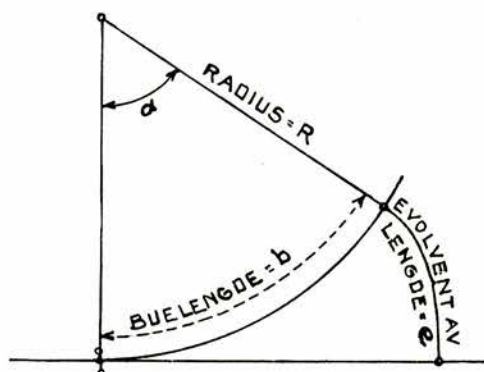
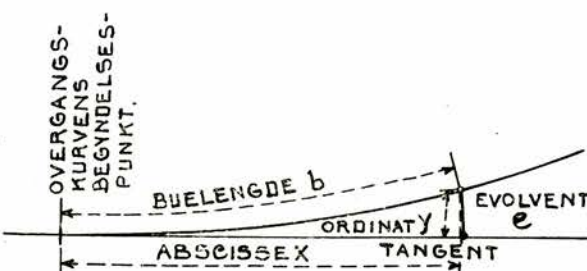


Fig. 4.



mot A, så beskriver punkt C en ny kurve: Avrullingskurven eller *evolventen* til kurven ABC. Kurven fra C til C' er således evolventen til kurvestykket AC og kurven fra B til B' evolventen til kurvestykket AB.

2. Evolventdifferens som mål for avsett.

For 2 kurver A-B og C-D (fig. 2), begge utgående fra samme hovedtangent og forøvrig beliggende forholdsvis nær hinannen vil — når det dreier sig om så store radier som ved jernbanespør — evolventene for korresponderende punkter på de 2 kurver tilnærmet falle sammen. Evolventen for punkt a på kurve A-B faller således sammen med evolventen for punkt a' på kurve C-D. Avstanden a-a' blir da differensen i evolvent-

lengde for de 2 kurver — eller om man vil: *evolventdifferensen* — på angeldende sted.

Er f. eks. A-B en eksisterende kurve i et jernbane spor, så kan evolventlengdene for punkter på denne forholdsvis lett beregnes på grunnlag av målinger i marken. Tracéen ønskes forandret og C-D kan være den projekterte nye kurve. Beregner man nu evolventlengdene for tilsvarende punkter på denne nye kurve — og det kan lett gjøres etterat forskjellige data vedrørende kurvens beliggenhet er fastlagt — så har man i evolventdifferensene målet for *avsettet* fra punkter på den eksisterende kurve til dermed korresponderende punkter på den projekterte kurve.

3. Evolventens lengde.

Formelen for lengden av evolventen til et gitt buestykke av en *circel* lyder: (se fig. 3).

Evolventlengde $e = \frac{R \cdot \alpha^2}{2}$, hvor R er cirkelkurvens radius og α det gitte buestykkes centervinkel i absolutt mål. For vinkelen α kan innsettes forholdet $\frac{\text{buen}}{\text{radien}} = \frac{b}{R}$ og formelen for evolventlengden går da over til:

$$e = \frac{R \cdot \frac{b^2}{R^2}}{2} = \frac{b^2}{2R}$$

hvor altså b er buelengden for vinkelen α og radien R.

For de forholdsvis korte og meget flate *kubiske parabler*, der anvendes som overgangskurver fra tangent til cirkelkurve i jernbanespør kan med tilstrekkelig nøyaktighet buelengden frem til et visst punkt på parabelen regnes lik punktets abscisse. Med samme grad av nøyaktighet kan da punktets evolventlengde regnes lik dets ordinat.

Ligningen for den kubiske parabel lyder: $y = \frac{x^3}{6 \cdot R \cdot l}$

hvor R er den tilstøtende cirkelkurves radius og l er overgangskurvens totale abscisselengde. For overgangskurven blir altså: (se fig. 4).

$$\text{Evolventlengde } e = \text{ordinaten } y = \frac{x^3}{6 \cdot R \cdot l} = \frac{b^3}{6 \cdot R \cdot l}$$

hvor b betegner buelengden frem til det punkt på parabelen, hvis evolventlengde er lik e.

4. Forskjellige diagrammer grunnet på evolventlengdene.

I fig. 5 er optegnet en cirkelkurve tilsluttet hovedtangenten A-B ved en overgangskurve av lengde l.

e_{KP} , e_{OF} , e_p og e_q er evolventlengder for forskjellige punkter på kurven.

Grubernes Sprængstoffabriker ^{A/S}

OSLO - RÅDHUSGT. 2 - TELEFON 25 617 - TELEGR.ADR. „LYNIT“



Varsko her!

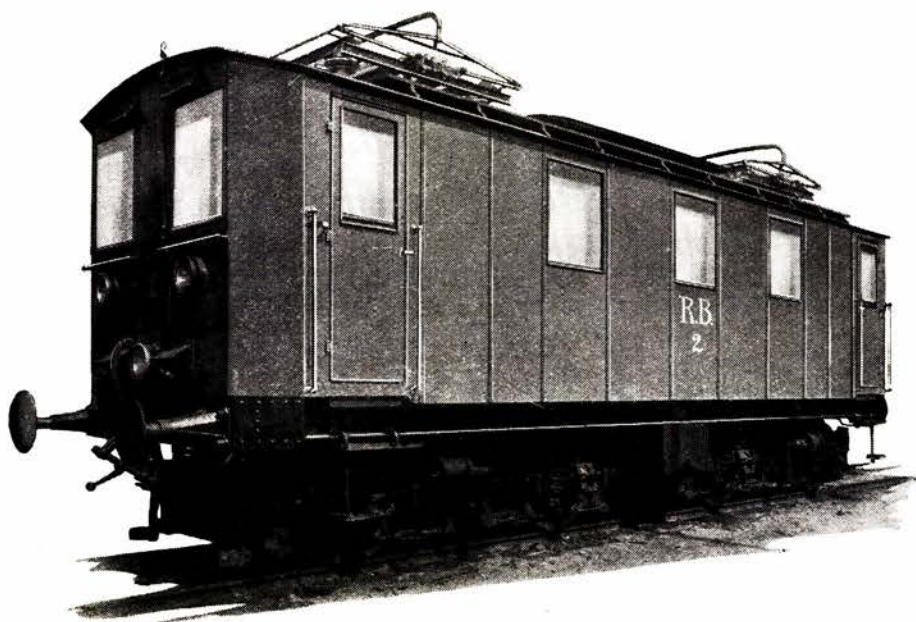
LYNIT

er det kraftigste og
beste sikkerhets-
sprengstoff på markedet.
Anbefales til fjell-
sprenging, stenkus-
ing uten boring,
jordsprenging, o. s. v.

^{A/S} SKABO JERNBANEVOGNFABRIK

SKØYEN PR. OSLO

Grunnlagt 1864



JERNBANEVOGNER, MOTORVOGNER, LOKOMOTIVER FOR ELEKTRISKE BANER, KAROSSERIER
Spesialitet: Sporvogner og Forstadsbanemateriell.

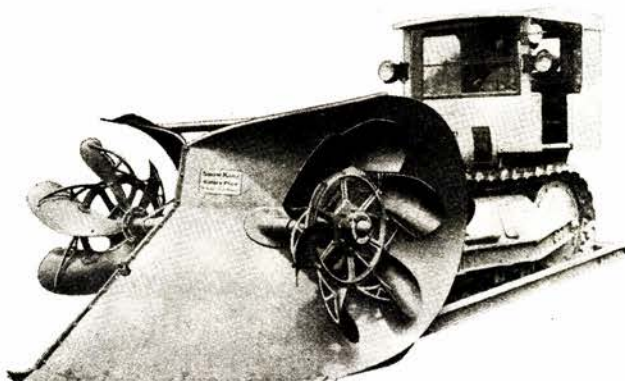
„Materiellet skaper trafikken“

Den roterende landeveis-snepløg

SNEKONGEN

(SNOW KING)

Kan anvendes i
forbindelse med
traktorer eller
biler



„Der er praktisk
talt intet som
stopper den i ar-
beidet“

Den mest effektive pløg for store snemasser
og for utvidelse av veibanan

Hovedrepræsentanter for Norge, Sverige og Island:

A/S Skabo Jernbanevognfabrik, Skøyen pr. Oslo

Grundlagt 1864

30,000

Jernbanebokser

med **SKF**-lager

er fortiden i drift over hele verden

Fordeler:

BRÆNDSEL OG KRAFTBESparelse ELLER ÖKET
TOGVEKT UTEt ÖKNING AV LOKOMOTIVETS STÖRRELSE
INGEN UBEHAGELIGHETER AV VARMGANG.
INGEN FASTFRYSNING AV LAGERNE VED LAV TEMPERATUR,
ÖKET MIDDLEHASTIGHET PR. BANESTRÆKNING PAA
GRUND AV DEN LETTERE IGANGSÆTNING.



NORSK KULELAGER AKTIESELSKAP SKF OSLO

Tenker man sig nu kurvesystemet utrettet og utstrakt langs tangenten A-B, således at selve den utstrakte kurven danner x-aksen i et rettvinklet koordinatsystem, og man videre for hvert punkt på denne absisseaksen avsetter som ordinat evolventlengden for tilsvarende punkt i kurven, så får man det i fig. 6 optegnede kurvedrag, diagram I.

Med origo i overgangskurvens begynnelsespunkt (OB) blir ligningene for kurvedraget i dette diagram:

For første del, fra origo til $x = l$, hvor man ifølge forutsetningen fra før har den samme kubiske parabel som i det virkelige kurvesystem, lyder ligningen:

$$y = \frac{x^3}{6 \cdot R \cdot l}$$

For cirkelkurven fra $x = l$ og videre:

Med origo i cirkelkurvens teoretiske begynnelsespunkt (jfr. fig. 6) lyder ligningen for evolventlengden:

$$y = \frac{x^2}{2R}$$

Flyttes origo til overgangskurvens begynnelsespunkt (OB) går ligningen over til:

$$y = \frac{x^2 - l \cdot x + l^2}{2 \cdot R} + \frac{l^2}{6 \cdot R} = \frac{x^2 - l \cdot x + 4m}{2 \cdot R}$$

hvor m er målet for innflytningen på grunn av overgangskurven, $m = \frac{l^2}{24 \cdot R}$.

Diagramlinjen i diagram I består således av en $\frac{d^3y}{dx^3}$ -sk parabel av ligning $y = \frac{x^3}{6 \cdot R \cdot l}$ fra origo til $x = l$ og en almindelig parabel av ligning $y = \frac{x^2 - l \cdot x + 4m}{2 \cdot R}$ fra $x = l$ og videre.

Deriverer man disse ligninger og avsetter differentialkvotienten $\frac{dy}{dx} = y'$ som ordinater på samme x-akse, så får man et nytt diagram, diagram II (fig. 7).

Fra origo til $x = l$ (overgangskurven) blir ligningen for ordinatene i dette diagram:

$$y' = \frac{dy}{dx} = \frac{d\left(\frac{x^3}{6 \cdot R \cdot l}\right)}{dx} = \frac{x^2}{2R}$$

Fra $x = l$ og videre:

$$y' = \frac{dy}{dx} = \frac{d\left(\frac{x^2 - l \cdot x + 4m}{2R}\right)}{dx} = \frac{x - \frac{l}{2}}{R}$$

Diagramlinjen i diagram II består således av en almindelig parabel av ligning $y' = \frac{x^2}{2R}$ fra origo til $x = l$

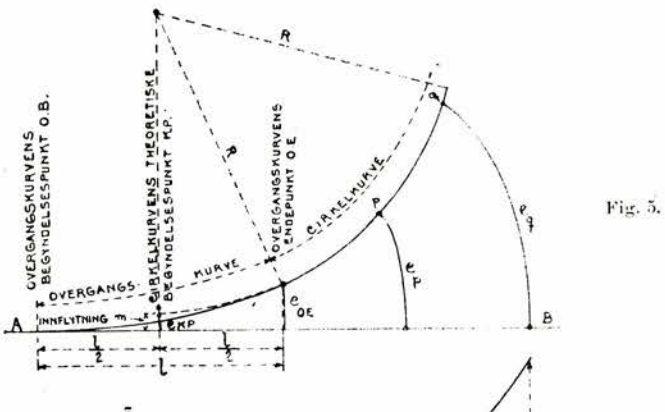


Fig. 5.

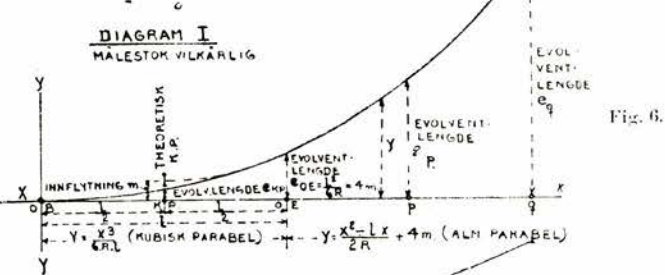


Fig. 6.

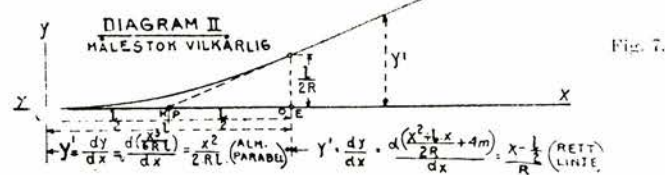


Fig. 7.

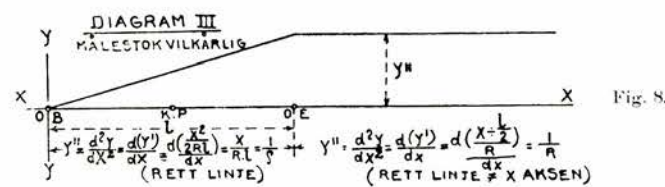


Fig. 8.

og en rett linje av ligning $y' = \frac{x - \frac{l}{2}}{R}$ fra $x = l$ og videre.

Den rette linje tangerer parabelen i O_E ($x = l$) og skjærer x-aksen i K_P ($x = \frac{l}{2}$)

Deriverer man igjen disse siste ligninger og avsetter 2nen differentialkvotient $\frac{d^2y}{dx^2} = y''$ som ordinater — fremdeles på samme x-akse som i diagram I — så får man et tredje diagram, diagram III (fig. 8).

Fra origo til $x = l$ blir ligningen for ordinatene i dette diagram:

$$y'' = \frac{d^2y}{dx^2} = \frac{d(y')}{dx} = \frac{d\left(\frac{x^2}{2R}\right)}{dx} = \frac{x}{R} = \frac{1}{R}$$

hvor ρ er den kubiske parabels krumningsradius i abscisseavstand x fra origo.

Fig. 9.

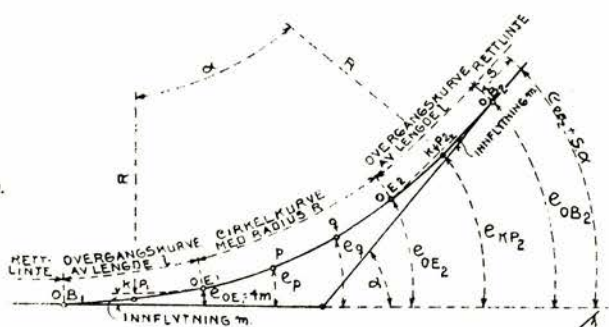


Fig. 10

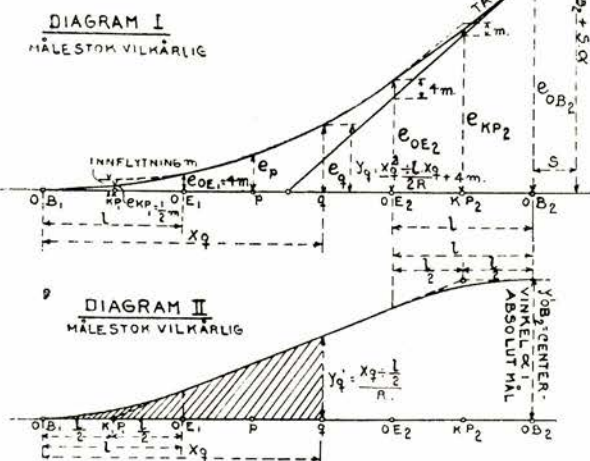


Fig. 11

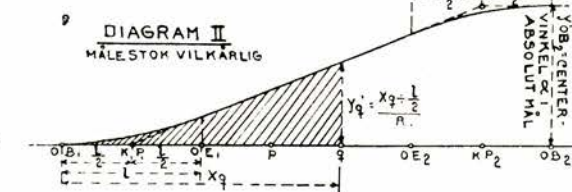
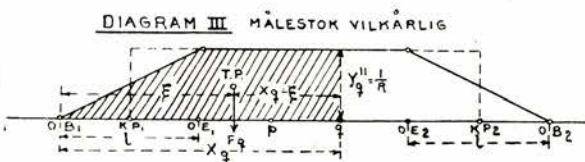


Fig. 12



Fra $x = l$ og videre:

$$y' = \frac{d^2 y}{dx^2} = \frac{d(y)}{dx} = \frac{d\left(\frac{x - l}{R}\right)}{dx} = \frac{1}{R}$$

Diagramlinjen i diagram III består således av en rett — jevnt stigende — linje av ligning $y'' = \frac{x}{R \cdot l}$ fra origo til $x = l$ og en rett linje $\neq x$ -aksen i avstand $\frac{1}{R}$ fra denne fra $x = l$ og videre.

I fig. 9 er skissert en kurve i sin helhet fra tangent til tangent med overgangskurver innlagt i begge ender. Evolventene i forskjellige punkter er antydet punktert. I de etterfølgende figurer, fig. 10, 11 og 12, er vist diagrammene I, II og III for det hele kurvesystem fra tangent til tangent.

I det foregående er ikke medtatt ligningene for overgangskurven $OE_2 - OB_2$ i de forskjellige diagrammer. Med origo i overgangskurvens begynnelsespunkt tilven-

stre (OB_1) vil nemlig ligningene for den annen overgangskurve anta en noget innviklet form, ialfall hvad diagram I og II angår. De er forøvrig uten betydning for nærværende utvikling, idet det uten videre vil være klart, at diagrammene for kurvesystemet i sin helhet antar den form som vist i fig. 10, 11 og 12. Henlegger man nemlig origo til overgangskurvens begynnelsespunkt tilhøire og går den motsatte vei får man ligninger identiske med dem som er utviklet med origo i overgangskurvens begynnelsespunkt til venstre.

De punkterte linjer i fig. 10, 11 og 12 angir den form diagrammene vilde anta for ren cirkelkurve uten overgangskurver.

Underkastes nu de 3 forskjellige diagrammer en nærmere granskning for å bringe på det rene hva de gir uttrykk for, så finner man:

Ordinatene i *diagram I* fremstiller direkte lengden av evolventene for de forskjellige punkter i kurvesystemet, idet jo dette var forutsetningen for dets konstruksjon. Dette diagram kan derfor passende kalles *evolventdiagrammet*.

Ordinaten i et visst punkt i *diagram II* fremstiller verdien av tangens til tangentvinkelen i tilsvarende punkt på kurvedraget i *diagram I*. Men — for cirkelkurvens vedkommende — er tangens til tangentvinkelen i et visst punkt på kurvedraget i *diagram I* igjen lik tangentvinkelen i tilsvarende punkt på det virkelige kurvesystem. Dette fremgår forøvrig direkte av uttrykket for

ordinaten i *diagram II*. $(y' = \frac{x - l}{2} = \frac{l}{R} = \text{center-radien})$

vinkel for betreffende punkt på den virkelige cirkelkurve.)

Hvad overgangskurven angår, så dreier det sig her om så små tangentvinkler, at man kan sette vinkelen lik dens tangens.

For hele *diagram II* gjelder det altså, at ordinaten i et visst punkt utgjør tangentvinkelen i absolutt mål for det tilsvarende punkt på det virkelige kurvesystem.

Diagram II kan derfor passende kalles *vinkelgrammet*.

Da ordinatene i *diagram II* er lik differensialkvotienten av uttrykket for ordinatene i *diagram I*, er følgelig disse siste lik integralet av uttrykket for ordinatene i *diagram II*. Ordinaten y_q i *diagram I* i en viss avstand x_q fra origo kan således uttrykkes ved det bestemte integral:

$$y_q = \int_{x=0}^{x=x_q} y' dx$$

Altså er flaten mellom diagramlinjen i *diagram II* og x -aksen frem til ordinaten i et visst punkt lik evolvent-

tengden for det tilsvarende punkt på det virkelige kurvesystem.

Flateinnholdet av den skraferte flate i diagram II (fig. 11) gir således ordinaten i punkt q i diagram I (fig. 10), hvilken ordinat igjen har samme lengde som evolventen for punkt q på det virkelige kurvesystem (fig. 9).

Ordinatene i diagram III gir uttrykk for krumningen i de forskjellige punkter på det virkelige kurvesystem, idet de er målet for krumningsradiens inverse verdi. Dette diagram kan derfor passende kalles *krumningsdiagrammet*.

Ordinatene i diagram II er lik integralet av uttrykket for ordinatene i diagram III. Ordinaten y'_q i diagram II i en viss avstand x_q fra origo kan således uttrykkes ved det bestemte integral:

$$y'_q = \int_{x=0}^{x=x_q} y'' dx$$

Alltså er flaten mellom diagramlinjen i diagram III og x-aksen frem til ordinaten i et visst punkt lik tangentvinkelen i tilsvarende punkt på det virkelige kurvesystem.

Flateinnholdet av den skraferte flate i diagram III (fig. 12) gir således ordinaten i punkt q i diagram II (fig. 11), hvilken ordinat igjen er målet for tangentvinkelen i punkt q på det virkelige kurvesystem (fig. 9).

Ordinater y i diagram I kan uttrykkes ved ordinatene y'' i diagram III ved dobbeltintegralet:

$$y = \int (\int y'' dx) dx = \int (\int dF) dx$$

hvor dF er flatedifferensialet $y'' \cdot dx$.

$$\text{Men } \int (\int dF) dx = x \int dF - \int x \cdot dF$$

hvor $\int dF$ er den hele flate fra origo frem til abscisseavstanden x og $\int x \cdot dF$ er momentet av samme flate med origo som dreiepunkt.

Flaten frem til et visst punkt q på abscisseaksen i diagramm III kan kalles F_q .

Da er

$$x_q \int_0^{x_q} dF = F_q \cdot x_q$$

$$\text{og } \int_0^{x_q} dF \cdot x = F_q \cdot \xi$$

hvor ξ er abscissen for flatens tyngdepunkt.

Man får således:

$$y_q = x_q \int_0^{x_q} dF - \int_0^{x_q} dF \cdot x = F_q \cdot x_q - F_q \cdot \xi = F_q (x_q - \xi)$$

hvilket siste er uttrykket for flatens moment med punkt q på abscisseaksen som dreiepunkt.

Alltså er momentet av flaten mellom diagramlinjen i diagram III og x-aksen frem til ordinaten i et visst punkt — med dette som dreiepunkt — lik evolventlengden for tilsvarende punkt på det virkelige kurvesystem.

Kalles abscisseavstandene fra punkt q og tilbake til hvert flateelements tyngdepunkt z så er

$$F_q (x_q - \xi) = \int_{z=v}^{z=x_q} dF \cdot z = y_q$$

Hvilket er den bekvemmeste form for momentuttrykket ved beregning av evolventlengder.

Når det i det foregående er uttalt, at ordinatene i diagram II er målet for vinkler, og flater i samme diagram er målet for lengder, og likeledes at flater i diagram III er målet for vinkler, og momentet av flater i samme diagram er målet for lengder, må erindres:

Ordinater i diagram II er *ubenevnte* størrelser, idet de er målet for forholdstallet mellom størrelser av ens benevnelse. Innholdet av et flateelement i dette diagram blir således = ubenevnt \times lengdemål = lengdemål.

Ordinatene i diagram III har benevnelsen $\frac{1}{\text{lengdemål}}$. Innholdet av et flateelement i dette diagram blir således = $\frac{1}{\text{lengdemål}} \times \text{lengdemål}$ = ubenevnt og momentet av et flateelement = ubenevnt \times lengdemål = lengdemål.

5. Forholdet mellom evolventlengder og pilhøider i et gitt kurvesystem.

I fig. 13 er x—x hovedtangent til en kurve gjennom en rekke punkter 1, 2, 3, 4 og 5 beliggende i samme innbyrdes avstand a.

Punkt 1 er berøringspunktet mellom overgangskurve og tangent. Overgangskurven forutsettes å ha lengde $l = 2a$, således at punkt 3 er berøringspunktet mellom den kubiske parabel og cirkelkurven. Der er trukket korder mellom punktene 0 (beliggende på tangenten) og 2, mellom 1 og 3, mellom 2 og 4 og mellom 3 og 5. Pilhøidene målt fra midten av disse korder og til punktene 1, 2, 3 og 4 på kurven kalles henholdsvis f_1 , f_2 , f_3 og f_4 .

Trekkes nu de punkterte korder 1—2, 2—3, 3—4 og deres forlengelse, samt korden 4—5, og man forutsetter at punktavstanden a er så liten i forhold til kurveradien, at korden mellom punktene kan settes lik selve buelengden, (alltså = a), så kan evolventene i de forskjellige punkter opfattes som sammensatt av pilhøidene således som påskrevet i fig. 13.

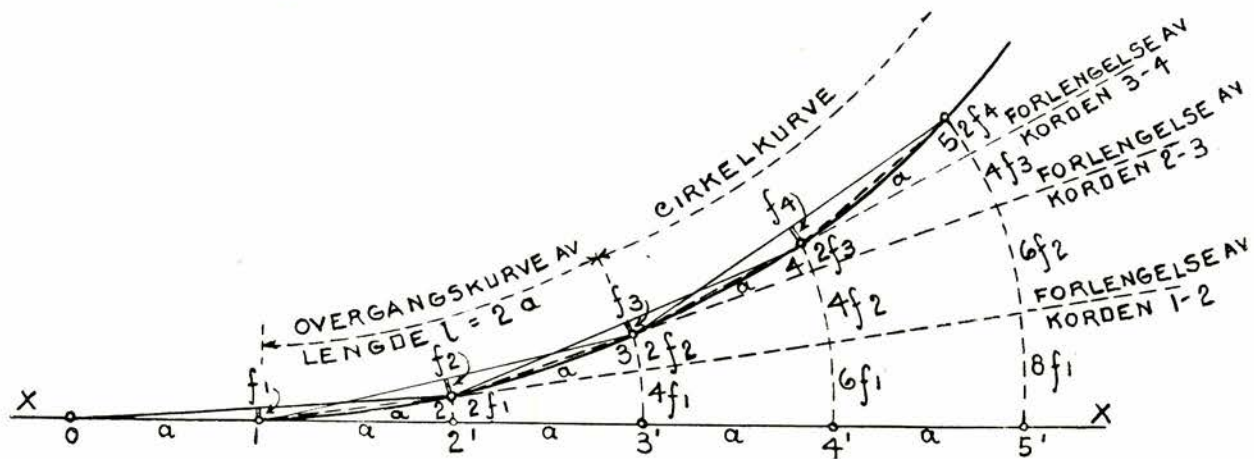


Fig. 13.

Som foran utviklet lyder ligningene for evolventlengdene (se diagram I, fig. 6):

For overgangskurven (her fra punkt 0 til 3): $y = \frac{x^3}{6Rl}$
 » cirkelkurven (her fra punkt 3 og videre):

$$y = \frac{x^2 - l \cdot x}{2R} + 4 \text{ m},$$

Hvori $4 \text{ m} = \frac{l^2}{6R}$ er evolventlengden for punkt 3.

Innsettes her $x = a$, $x = 2a$, $x = 3a$ o.s.v., så fås følgende uttrykk for evolventlengdene for de forskjellige punkter:

Evolventlengde for punkt 2:

$$e_2 = \frac{a^3}{6Rl}$$

Evolventlengde for punkt 3:

$$e_3 = \frac{(2a)^3}{6Rl} = 8 \frac{a^3}{6Rl} \left(= \frac{4a^2}{6R} - \frac{l^2}{6R} = 4 \text{ m} \right)$$

idet $l = 2a$

Evolventlengde for punkt 4:

$$e_4 = \frac{9a^2 - 6a^2}{2R} + 4 \text{ m} = 3 \frac{a^2}{2R} + 4 \text{ m}$$

Evolventlengde for punkt 5:

$$e_5 = \frac{16a^2 - 8a^2}{2R} + 4 \text{ m} = 8 \frac{a^2}{2R} + 4 \text{ m}$$

For at de på fig. 13 påskrevne verdier for evolventlengdene, nemlig:

$$e_2 = 2f_1$$

$$e_3 = 4f_1 + 2f_2$$

$$e_4 = 6f_1 + 4f_2 + 2f_3$$

$$\text{og } e_5 = 8f_1 + 6f_2 + 4f_3 + 2f_4$$

skal tilfredsstille ligningene for ordinatene i det teoretske diagram I, må således pilhøidene f_1 , f_2 , f_3 og f_4 ha følgende verdier (uttrykt ved konstantene a , R og l):

$$f_1 = \frac{1}{2} e_2 = \frac{1}{2} \frac{a^3}{6Rl}$$

$$f_2 = \frac{1}{2} e_3 - 2f_1 = 4 \frac{a^3}{6Rl} - \frac{a^3}{6Rl} = 3 \frac{a^3}{6Rl}$$

$$f_3 = \frac{1}{2} e_4 - 3f_1 - 2f_2 = \frac{1}{2} \left(3 \frac{a^2}{2R} + 4 \text{ m} \right) - \frac{3}{2} \frac{a^3}{6Rl} -$$

$$- 6 \frac{a^3}{6Rl} = \frac{3}{2} \frac{a^2}{2R} - \frac{7}{2} \frac{a^3}{6Rl}$$

idet 4 m settes lik $\frac{8}{6Rl} \frac{a^3}{6Rl}$. Opdeles saa ledet $- \frac{7}{2} \frac{a^3}{6Rl}$

i to, nemlig $- 3 \frac{a^3}{6Rl} - \frac{1}{2} \frac{a^3}{6Rl}$ og innsettes i første av disse ledde $l = 2a$, så fås:

$$f_3 = \frac{3}{2} \frac{a^2}{2R} - 3 \frac{a^3}{6R2a} - \frac{1}{2} \frac{a^3}{6Rl} = \frac{a^2}{2R} - \frac{1}{2} \frac{a^3}{6Rl}$$

$$f_4 = \frac{1}{2} e_5 - 4f_1 - 3f_2 - 2f_3 = \frac{1}{2} \left(8 \frac{a^2}{2R} + 4 \text{ m} \right) - 2 \frac{a^3}{6Rl} - 9 \frac{a^3}{6Rl} - 2 \left(\frac{a^2}{2R} - \frac{1}{2} \frac{a^3}{6Rl} \right) = 2 \frac{a^2}{2R} - 6 \frac{a^3}{6Rl} = \frac{a^2}{2R}$$

når l innsettes lik $2a$.

Pilhøiden f_4 er målt fra en korde som i sin helhet er beliggende innen cirkelkurven. For alle buestykker av lengde $2a$ innen cirkelkurven blir pilhøiden den samme,

$f_R = \frac{a^2}{2R}$, hvori $\frac{a^2}{2R}$ er lengden av evolventen for en buelengde lik a .

Et bekvemt mål for punktavstanden (ekvidistansen) a er 10 meter. Det vil uten videre være klart at når det dreier seg om så store radier som almindelig ved jernbaner og ekvidistanser av ovennevnte mål (10 m), så er man helt på den riktige side av den nøyaktighetsgrad

som almindelig forlanges ved stikning av jernbanekurver ved å beregne pilhøyden i cirkelkurver etter formelen:

$$f_R = \frac{a^2}{2R} = \frac{50}{R} \quad (\text{se fig. 14}).$$

Det samme gjelder de for overgangskurven beregnede pilhøideverdier:

$$\left. \begin{aligned} f_1 &= \frac{1}{2} e_2 = \frac{1}{2} \frac{a^3}{6Rl} \\ f_2 &= \frac{1}{2} e_3 - e_2 = \frac{1}{2} \frac{a^3}{6Rl} \end{aligned} \right\} \quad (\text{se fig. 15})$$

For punkt 3, som er berøringspunktet mellom overgangskurve og cirkelkurve, fant man pilhøyden

$$f_3 = \frac{a^2}{2R} - \frac{1}{2} \frac{a^3}{6Rl} = f_R - \frac{1}{2} \frac{a^3}{6Rl}$$

Det fremgår av fig. 16 at denne verdi er riktig med samme grad av nøyaktighet som de øvrige beregnede pilhøider. Man forlenger cirkelkurven til punkt 2'. Nu gjelder overgangskurvens ligning $y = \frac{x^3}{6Rl}$ likefullt for ordinater regnet fra cirkelkurven med denne som abcisseaksen og med berøringspunktet 3 som origo som for ordinater fra tangenten med berøringspunktet 1 som origo. Men har altså:

$$\text{ord'nat } 2-2' = y_2 = \frac{a^3}{6Rl}$$

$$\text{og } f_3 = f_{x_3} - \frac{1}{2} y_2 = f_R - \frac{1}{2} \frac{a^3}{6Rl}$$

I fig. 17 er skissert en kurve i sin helhet fra tangent til tangent med overgangskurver innlagt i begge ender. Evolventene f — de forskjellige — i innbyrdes avstand a beliggende — punkter er antydet i figuren og deres lengder — t. rykt ved pilhøyden — er påskrevet.

Evolventdiagrammet for denne kurven blir som skissert i fig. 18 — hvor samtlige ordinaters lengde — uttrykt ved $\frac{dy}{dx}$ — er påskrevet.

I fig. 19 er skissert vinkeldiagrammet for kurven. I dette diagram er ordinatene uttrykt ved pilhøyden på samme måte som ordinatene i evolventdiagrammet (fig. 18) og utledet av disse på følgende måte:

Ordinatene y' i vinkeldiagrammet skal i henhold til det tidligere utviklede være lik differensialkvotienten av uttrykket for ordinatene i evolventdiagrammet, $y' = \frac{dy}{dx}$.

Når vi istedenfor uendelig små absisstykker dx går over til å behandle stykker av endelig lengde $x = a$,



Fig. 14.

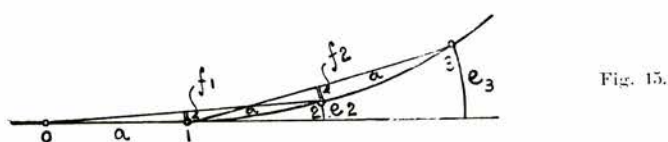


Fig. 15.

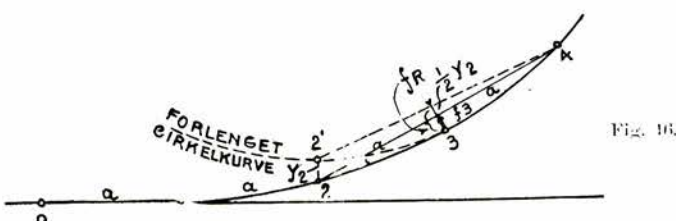


Fig. 16.

går uttrykket $\frac{dy}{dx}$ over til $\frac{\Delta y}{\Delta x} = \frac{\Delta y}{a}$, hvor Δy er tilveksten i ordinat i evolventdiagrammet på ekvidistansen a , altså $y' = \frac{\Delta y}{a}$.

Av fig. 18 sees, at ordinatlengden i evolventdiagrammet øker fra 0 ved punkt 1 til $2f_1$ ved punkt 2. Ordinatetilveksten Δy i å første ekvidistanse altså lik $2f_1$. Tilsvarende ordinat i vinkeldiagrammet blir: $y' = \frac{\Delta y}{a} = \frac{2f_1}{a}$ der avsettes midt mellom punktene 1 og 2 på absisseaksen.

På andre ekvidistanse — fra punkt 2 til punkt 3 — øker ordinatlengden fra $2f_1$ til $4f_1 + 2f_2$. Ordinatetilveksten $\Delta y = 4f_1 + 2f_2 - 2f_1 = 2f_1 + 2f_2$. Tilsvarende ordinat i vinkeldiagrammet blir:

$$y' = \frac{\Delta y}{a} = \frac{2f_1 + 2f_2}{a},$$

der avsettes midt mellom punktene 2 og 3 på absisseaksen.

Ordinatene y' for det hele vinkeldiagram blir som påskrevet fig. 19.

Undersøker man nu, om den del av det således konstruerte vinkeldiagram som representerer overgangskurven svarer til en almindelig parabel av ligning $y' = \frac{x^2}{2Rl}$ med origo i overgangskurvens begynnelsespunkt — således som i det teoretiske diagram II (fig. 7 og 11), — så vil man finne at der er en liten avvikelse. Ordinaten

$$y' = \frac{2f_1}{a} = \frac{a^3}{6 \cdot R \cdot l \cdot a} = \frac{a^2}{6 \cdot R \cdot l}$$

skulde — for å tilfredsstille ligningen $y' = \frac{x^2}{2 \cdot R \cdot l}$ — ha

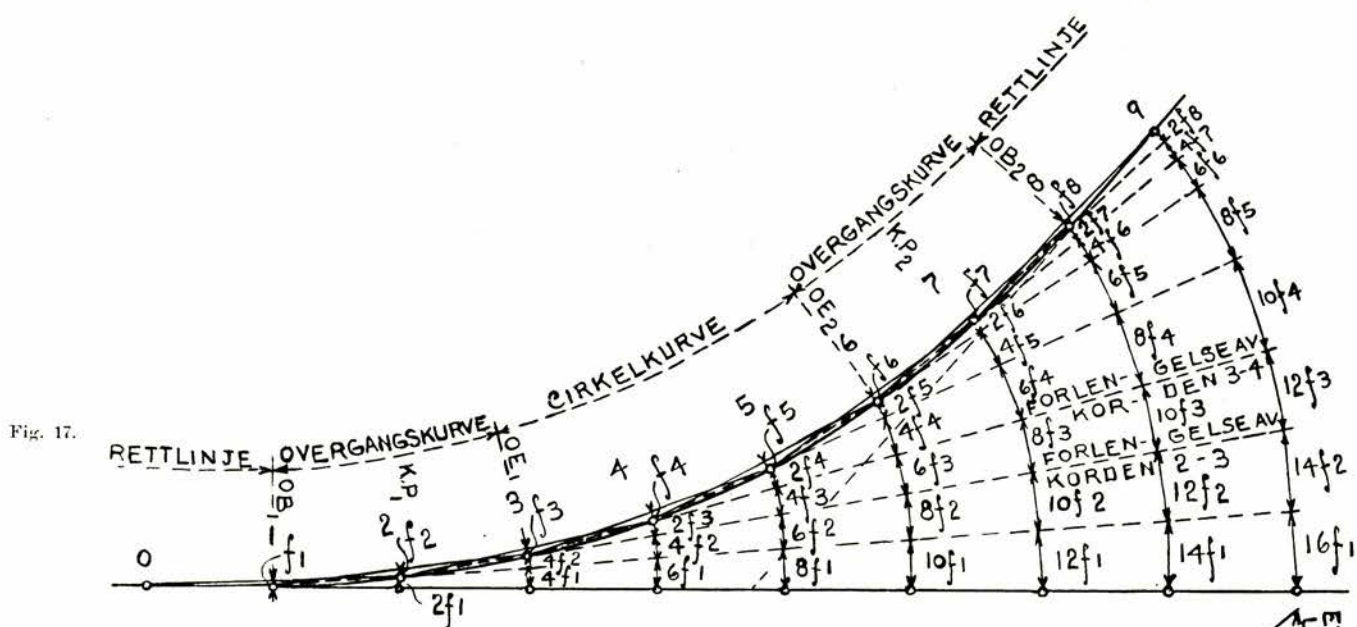


DIAGRAM I EVOLVENTDIAGRAMMET
MÅLESTOK VILKÅRLIG

Fig. 18.

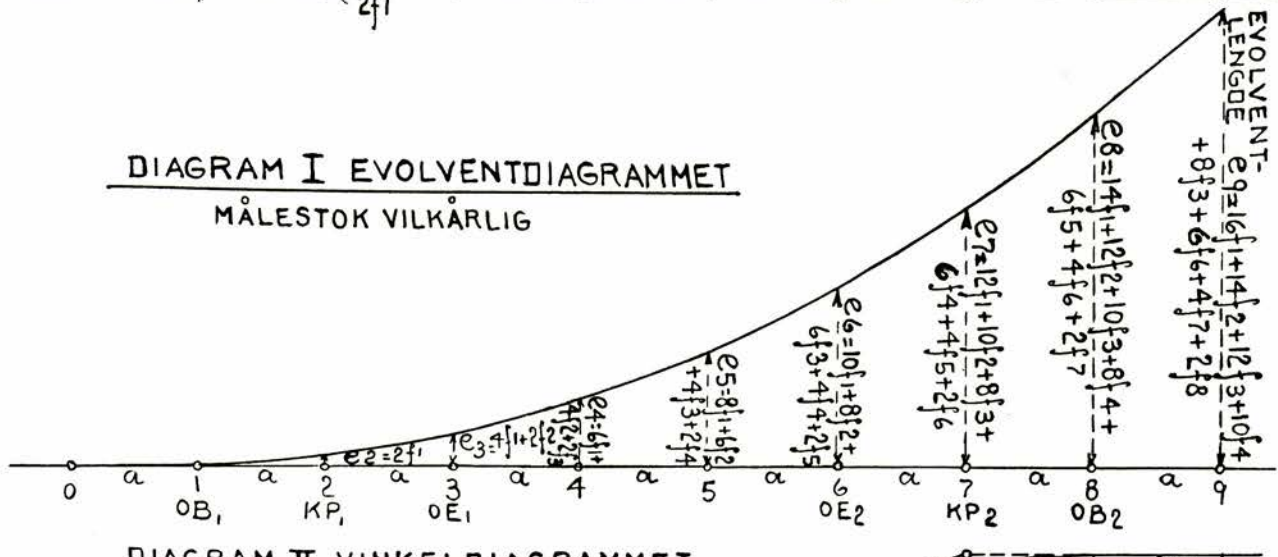


DIAGRAM II VINKELDIAGRAMMET
MÅLESTOK VILKÅRLIG

Fig. 19.

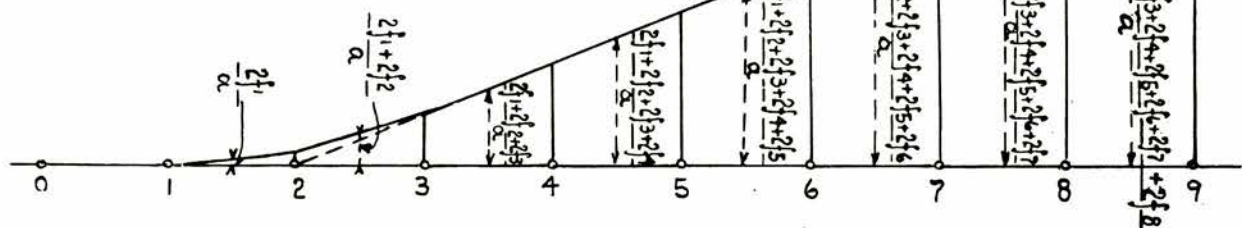
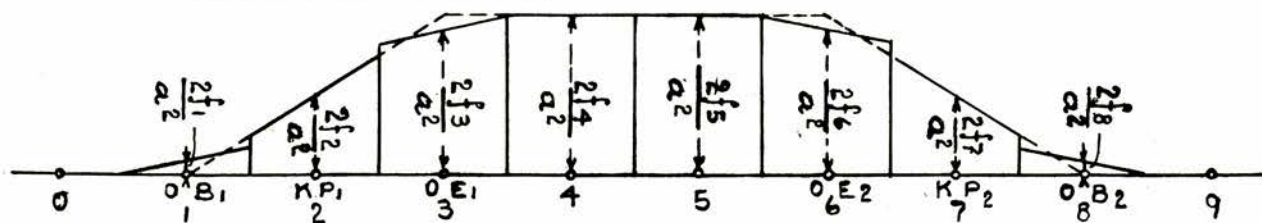
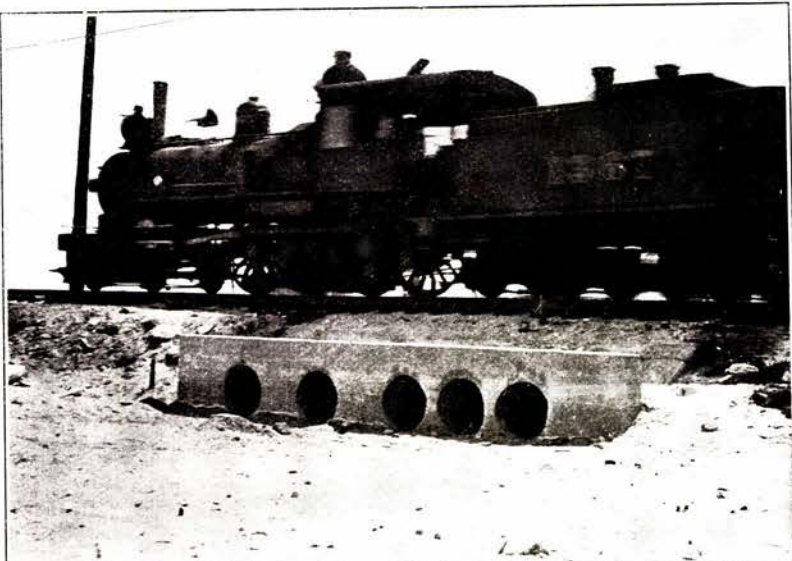


DIAGRAM III KRUMNINGSDIAGRAMMET
MÅLESTOK VILKÅRLIG

Fig. 20.



NB! Ad fig. 17. Ved delepunkt 3 er øvre evolventstykke feilaktig betegnet $4f_2$ istedenfor $2f_2$.



ER
DE MEST RUSTMOT-
STANDSDYKTIGE AV
EKSISTERENDE
„METALCULVERTS“

ANVENDES VED MO-
DERNE JERNBANE-
BYGNING OVER HELE
VERDEN PÅ GRUNN
AV SINE FORTRIN
FREMFOR DE GAMLE
STIKKRENNETYPER

ARMCO STIKKRENNER

Krever intet vedlikehold. Ødelegges ikke av frost.
Knekker ikke i blot grunn. — Kan flyttes.

Føres på lager hos
A/s G. HARTMANN
OSLO

WESTERN PACIFIC
RAILWAY ALENE HAR
LAGT OVER 23000 m.
SAMLET LENGDE
ARMCORENNER OG
UTSKIFTER EFTER-
HÅNDEN SINE GAMLE
RENNER MED DISSE

Ingeniør **F. Selmer - Entreprenørforretning** O S L O

Gravning, sprengning, fundamentering, betong og armeret betong. Reparasjoner, tetting og pussearbeide med cementkanon. Vannbygning, havneutbygning, mudring hydraulisk opfylling av land. Moderne og økonomiske apparater



Presisjons Stålbandmål

av beste sort svensk fjærstål $0,5 \times 20$ mm. av eget fabrikat anbefales. Deling i desimeter med 2 mm. hul, $\frac{1}{2}$ meter merket med 2 nagler og hver meter med nummerskilter.

10 meter på jernramme kr. 25.00, justergebyr kr. 2.00
20 meter på jernramme kr. 37.00, justergebyr kr. 4.00

Instrumentmaker H. E. KLEM

Rosenkrantzgaten 13b, Oslo.

Saxegaards Niveller-pendel koster nu kr. 30, 34 og 38 pr. stk.

Telefon 14943

Schwencke & Co's Eftf.



OSLO
Etabl. 1858

Alle sorter
Tretjære, Kultjære, Bek, Asfalt, Tjæreoljer, Drev etc.

Særlig anbefales:
Norsk tretjære Øtas og Neta
Schwenckes:

BITUMENLAK for jern
KARBOLINEUM
TAKLAK

Raffinert kultjære, Kreosotolje

Egne fabrikker ved
OSLO, ELVERUM og RASTA

CHR. ADAMSEN A/S

MASKINFORRETNING

KONGENS GATE 13

Spesialitet:

JERNBANEREKVISITA,
MASKINER, APPARATER ETC.



Vi utfører:

PLANERINGS- OG MUDRINGS-
ARBEIDER
BROER OG KAIER OVER HELE
LANDET

Projekt og overslag utarbeides gratis
på forlangende.

P. Høyer-Ellefson



vært avsatt i abscisseavstand $x = \sqrt{\frac{1}{3} \cdot a} = 0,57 a$ fra origo istedenfor som her avsatt i avstand $0,5 a$. Ordinaten

$$y' = \frac{2f_1 + 2f_2}{a} = 7 \frac{a^3}{6 \cdot R \cdot l \cdot a} = 7 \frac{a^2}{6 \cdot R \cdot l}$$

skulde ha vært avsatt i abscisseavstand $x = \sqrt{\frac{7}{3} \cdot a} =$

$1,53 a$ fra origo istedenfor som her i avstand $1,5 a$. Som det sees er avvikelsen meget liten, og man begår ingen merkbar feil ved å avsette ordinattilveksten midt mellom punktene også for overgangskurven. — For jevn cirkelkurve er det helt korrekt å avsette ordinattilveksten midt mellom punktene, idet tilveksten her skjer jevnt.

Det således opstillede vinkeldiagram (fig. 19) uttrykker det samme som diagram II i fig. 7 og 11. De påskrevne verdier for ordinatlengdene utgjør således tangentvinkelen i tilsvarende punkt på den virkelige kurve og summen av alle de enkelte flatelameller av bredde a frem til et visst punkt på abscisseaksen utgjør evolventlengden for tilsvarende punkt på den virkelige kurve.

Av fig. 21 fremgår direkte at korden $3-4$ danner vinkelen $\frac{2f_1 + 2f_2 + 2f_3}{a}$ med hovedtangenten. Da man har jevn cirkelbue mellom punktene 3 og 4 vil en med korden $3-4$ parallel tangent berøre cirkelkurven midt mellom punktene 3 og 4 . I punktet $3 + \frac{a}{2}$ på cirkelkurven har man altså tangentvinkel av størrelse $\frac{2f_1 + 2f_2 + 2f_3}{a}$ tilsvarende ordinaten i punktet $3 + \frac{a}{2}$ i vinkeldiagrammet fig. 19.

Forutsetter man at de med kordene $1-2$ og $2-3$ (i overgangskurven) parallele tangenter også berører kurven midt mellom punktene, fås tangentvinkel $\frac{2f_1 + 2f_2}{a}$

i punktet $2 + 0,5 a$ og tangentvinkel $\frac{2f_1}{a}$ i punktet $1 + 0,5 a$ tilsvarende ordinatene i samme punkter på abscisseaksen i vinkeldiagrammet. Som foran forklart er ikke denne forutsetning helt i overensstemmelse med det teoretisk riktige, idet den med korden $1-2$ parallele tangent vil berøre den kubiske parabel i avstand $0,57 a$ fra punkt 1 og den med korden $2-3$ parallele tangent i avstand $0,53 a$ fra punkt 2 . Man begår imidlertid ingen merkbar feil ved å forutsette at de på vinkeldiagrammet i fig. 19 anførte ordinatlengder utgjør tangentvinkelen i tilsvarende punkt på kurven også for den kubiske parabells vedkommende.

Flateinnholdet av vinkeldiagrammet (fig. 19) beregnes som sum av lameller av bredde $= a$ og midlere høyde $=$ de påskrevne ordinatlengder. Kalles den sam-

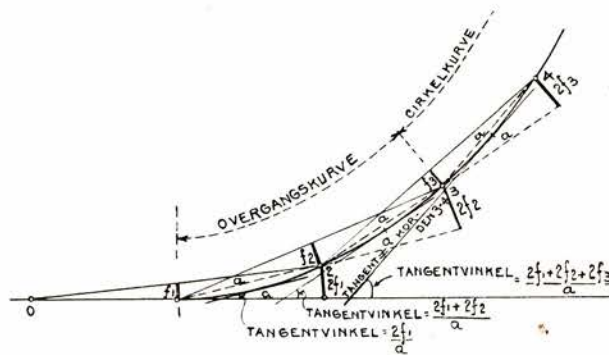


Fig. 21.

lede flate frem til punktene $2, 3, 4$ o.s.v. henholdsvis F_2, F_3, F_4 o.s.v., så er:

$$F_2 = \frac{2f_1}{a} \cdot a = 2f_1 =$$

evolventlengden for punkt 2.

$$F_3 = \frac{2f_1}{a} \cdot a + \frac{2f_1 + 2f_2}{a} \cdot a = 4f_1 + 2f_2 =$$

evolventlengden for punkt 3.

$$F_4 = \frac{2f_1}{a} \cdot a + \frac{2f_1 + 2f_2}{a} \cdot a + \frac{2f_1 + 2f_2 + 2f_3}{a} \cdot a = \\ = 6f_1 + 4f_2 + 2f_3 =$$

evolventlengden for punkt 4 o.s.v.

I fig. 20 er vist *krumningsdiagrammet* for det i fig. 17 skisserte kurvesystem. Dette diagram er utledet av vinkeldiagrammet i fig. 19 på følgende måte:

Ordinatene y'' i krumningsdiagrammet skal i henhold til det tidligere utviklede være lik differensialkvotienten av uttrykket for ordinatene i vinkeldiagrammet.

Når man som her regner med abscisestykker av endelig lengde a går uttrykket for ordinatene i krumningsdiagrammet, $y'' = \frac{dy'}{dx}$, over til

$$y'' = \frac{\Delta y'}{\Delta x} = \frac{\Delta y'}{a}$$

hvor $\Delta y'$ er tilveksten i ordinat i vinkeldiagrammet på ekvidistanse a .

Av fig. 19 sees at ordinatlengden i vinkeldiagrammet øker fra $0 + \frac{a}{2}$ til $\frac{2f_1}{a}$ ved punktet $1 + \frac{a}{2}$. På 1 ekvidistanse er altså ordinattilveksten $\Delta y' = \frac{2f_1}{a}$ og tilsvarende ordinat i krumningsdiagrammet

$$y'' = \frac{\Delta y'}{a} = \frac{2f_1}{a^2}$$

der avsettes midt mellom punktene $0 + \frac{a}{2}$ og $1 + \frac{a}{2}$ altså i punktet 1 på abscisseaksen.

Fra punkt $1 + \frac{a}{2}$ til punkt $2 + \frac{a}{2}$ øker ordinatlengden y' fra

$$\frac{2f_1}{a} \text{ til } \frac{2f_1 + 2f_2}{a}$$

$$\text{altså ordinattilvekst } \Delta y' = \frac{2f_2}{a}.$$

Tilsvarende ordinat i krumningsdiagrammet blir:

$$y'' = \frac{\Delta y'}{a} = \frac{2f_2}{a^2}$$

der avsettes i punkt 2 på abscisseaksen. O.s.v.

Ordinatene y'' for det hele krumningsdiagram blir som påskrevet i fig. 20.

På grunn av at vi her regner med abscisestykker av endelig lengde = a istedenfor uendelig små, blir det nogen hakk ved overgangskurvens begynnelses- og endepunkt i dette krumningsdiagram. Når man kun holder sig til *hele* flatelameller, så uttrykker dog dette diagram nøyaktig det samme som det teoretiske diagram III (fig. 8 og 12).

Sammenholdes krumningsdiagrammet (fig. 20) med vinkeldiagrammet (fig. 19), så finner man uten videre at summen av flateinnholdene av alle de enkelte lameller frem til et visst punkt på abscisseaksen i førstnevnte diagram utgjør lengden av ordinaten i tilsvarende punkt på abscisseaksen i sistnevnte og dermed tangentvinkelen i tilsvarende punkt på den virkelige kurve.

Momentet av flaten frem til et visst punkt på abscisseaksen i krumningsdiagrammet må her beregnes som summen av de enkelte flatelamellers momenter. I ligningen for momentet, $M = \int dF \cdot z$ går her dF over til $y'' \cdot \Delta x = y'' \cdot a$ og selve integralet går over til $M = \Sigma(y'' \cdot a \cdot z)$. Innføres ekvidistansen a som enhet for abscisselengder, så må for z innsettes $z \cdot a$, og momentligningen går over til: $M = \Sigma(y'' \cdot a^2 \cdot z)$. Kalles momentet av flaten frem til punkt $1 + \frac{a}{2}$ med punkt 2 som dreiepunkt M_2 , momentet av flaten frem til punkt $2 + \frac{a}{2}$ med punkt 3 som dreiepunkt M_3 o.s.v. så er:

$$M_2 = \frac{2f_1}{a^2} \cdot a^2 \cdot 1 = 2f_1 =$$

evolventlengden for punkt 2.

$$M_3 = \frac{2f_1}{a^2} \cdot a^2 \cdot 2 + \frac{2f_2}{a^2} \cdot a^2 \cdot 1 = 4f_1 + 2f_2 =$$

evolventlengden for punkt 3.

$$M_4 = \frac{2f_1}{a^2} \cdot a^2 \cdot 3 + \frac{2f_2}{a^2} \cdot a^2 \cdot 2 + \frac{2f_3}{a^2} \cdot 1 =$$

$$6f_1 + 4f_2 + 2f_3 =$$

evolventlengden for punkt 4. O.s.v.

Hver flatelamells tyngdepunkt er herunder antatt å ligge i lamellens midtlinje.

I praksis vil man ikke opstille diagrammene nøyaktig som foran beskrevet.

Hvad *vinkeldiagrammet* angår, så lød uttrykket for ordinaten, eksempelvis ved punkt $3 + \frac{a}{2}$ (fig. 19):

$$y' = \frac{2f_1 + 2f_2 + 2f_3}{a}. \quad \text{Flateinnholdet av lamellen mellom punktene 3 og 4 er lik midtordinaten} \times \text{lamellbredden} = \frac{2f_1 + 2f_2 + 2f_3}{a} \cdot a = 2f_1 + 2f_2 + 2f_3. \quad \text{Da a sáledes faller bort ved flateberegningen vil denne gi samme resultat om man som ordinat i diagrammet av}$$

$$\text{setter } 2f_1 + 2f_2 + 2f_3 \text{ istedenfor } \frac{2f_1 + 2f_2 + 2f_3}{a}. \quad \text{Det vil si det samme som at man da må betrakte multiplikasjonen med lamellbredden som allerede utført, så man ved flateberegningen kun har å summere midtordinatene i alle lameller. Avsetter man selve pilhøidesummene som}$$

$$\text{ordinater, altså ved punkt } 1 + \frac{a}{2} : f_1, \text{ ved punkt } 2 + \frac{a}{2} :$$

$$f_1 + f_2, \text{ ved punkt } 3 + \frac{a}{2} : f_1 + f_2 + f_3 \text{ o.s.v. så får man ved summering av disse midtordinater den halve evolventlengde for hvert punkt som altså etterpå må multipliseres med 2. Dette siste er mest praktisk, idet man da kun har å summere de ope noterte pilhøider suksessivt frem til hvert punkt for å få ordinatene i diagrammet. Det er dette *forenklet vinkeldiagram* som er lagt til grunn for den fremgangsmåte, som er beskrevet i det etterfølgende, og de eksempler, som der er anført. Ordinatene i et sådant forenklet diagram utgjør ikke direkte tangentvinkelen, men buelengden for denne vinkel for radius } a. \quad \text{For å få tangentvinkelen i absolutt mål må ordinaten i diagrammet divideres med } \frac{a}{2}.$$

På lignende måte med *krumningsdiagrammet*. Da a^2 faller bort ved momentberegningen kan man her istedenfor $\frac{2f}{a^2}$ avsette f direkte som ordinater, og man får som resultat den halve evolventlengde. Flaten i diagrammet må da divideres med $\frac{a^2}{2}$ for å gi tangentvinkelen i absolutt mål. Opstillet på denne måte blir krumningsdiagrammet direkte et *pilhøidediagram* for angeldende kurvesystem.

6. Anvendelse av diagrammene.

Angående de forskjellige diagrammer som i henhold til foranstående utvikling kan opstilles for et kurvesystem skal bemerkedes:

Evolventdiagrammet (diagram I) lar sig ikke hensiktmessig anvende ved kurvekorreksjon og dets opstilling har således ingen praktisk betydning. Det er kun tatt med her som teoretisk grunnlag for de øvrige dia-grammer.

Vinkeldiagrammet (diagram II) gir anledning til løsning av såvel almindelige korreksjons- som omstikningsopgaver på en særdeles enkel måte. Har man opstillet vinkeldiagrammet for et kurvesystem i et eksisterende jernbanespør, så kan man — innen visse grenser for avsettene størrelse — med stor nøyaktighet projektere på papiret alle mulige slags forandringer av sporets beliggenhet og på grunnlag herav regne sig til avsettene på hvert sted.

Pilhøidediagrammet (krumningsdiagrammet, diagram III) lar sig meget vel anvende hvor det dreier sig om enkle kurvekorreksjoner. Hvor man har å gjøre med mere kompliserte opgaver, som f. eks. kombinerte kurver eller behandling av kontrakurver i sammenheng, faller det dog adskillig mere tungvint å anvende enn vinkel-diagrammet, idet man her har å regne med flateres momenter, mens man ved vinkeldiagrammet kun har å regne med flater. Dette diagram vil derfor ikke bli gjenstand for nogen nærmere behandling i nærværende fremstilling. Det er tatt med i den foregående matematiske utredning nærmest for å gjøre denne så fullstendig som mulig.

(Fortsettes.)

A/S HOLMENKOLBANENS UNDERGRUNNSFORLENGELSE

Ved avdelingsingeniør H. T. Opsahl.

Der henvises til kart og lengdeprofil i „Meddelelserne“ nr. 6 — 1926.

Anleggsarbeidet ved seksjon 1, omfattende Majorstuen stasjon og seksjon 2, strekningen fra portalen ved Majorstuen km 1,903 til Sorgenfrigaten, km 1,59 hvor entreprenør firmaet *F. Selmer* har overtatt utførelsen, er nu¹⁾ på det nærmeste avsluttet. Da tunneltracéen på seksjon 2 krysser 3 dyprenner med optil 20 m dybde fra gatenivå til fjell, går under Valkyriegaten 2, har husrekker og sporveislinjer på begge sider og dessuten i Sorgenfrigaten går under den dobbeltporete trikkelinje, har anleggsarbeidet på denne strekning vært meget forskjelligartet og må karakteriseres som et av de vanskeligste partier av hele tunnelanlegget. Arbeidets planleggelse krevde et omhyggelig og nøyaktig studium, likesom anleggsarbeidet til enhver tid måtte drives med den ytterste forsiktighet, så ingen skade av nogen art ble påført de omkringliggende eiendommer.

I „Meddelelser fra Norges statsbaner“ 6 — 1926 finnes en beskrivelse av anleggsarbeidet for seksjon 1 samt for seksjon 2 fra tunnelportalen til Valkyriegaten 2, hvortil henvises.

På seksjon 1, hvor dybden av utgravingen ikke var for stor, ble uttagning av lermassene foretatt med en 1,0 m³ gravemaskin som lastet direkte i tippvognene (fig. 1). For de dypere liggende masser ble opheisning foretatt med en 11 m lang, på skinnegang transportabel portalkran med selvtiltippende kasse. Fig. 2 viser den åpne sjakt på dette parti, hvor kun treavstivning for jernpunktveggene er anvendt.

Lerens konsistens var meget forskjellig. Således var f. eks. i dyprennen km 1,83 de øverste 3 m stolpelere, der-

efter kom almindelig blåloms, som i 7,5 til 11,5 m bybde blev meget blot med rent hydrauliske egenskaper og hvor de nedrammte peler ble utsatt for opdrift. Nærmere mot fjell tiltok igjen lerens fasthet.

Før utgraving tor tunnelen påbegyntes under Valkyriegaten 2, en 4 etasjes murgård fundamentert på lere, måtte gårdenes fundamenter føres ned på fjell i en dybde av 10—12,5 m under gaten, og envidere måtte provisorisk omlegning av gårdenes vann- og kloakkledninger foretaes.

Under hele gårdenes fundamentmur ble derfor innlagt jernbjelker oplagret på betongpillarer ført ned til fjell. De fleste av disse hadde cirkeltversnitt med en diameter



Fig. 1. Seksjon 1. Gravemaskin — 1 m³.

¹⁾ I begynnelsen av mars 1928. Artikkelen har måttet ligge noen tid.



Fig. 2. Seksjon 1.

av 1,25 m. og støptes i cylindere av 2" spuntplanker avstivet med jernringer. Arbeidet med utgravingen i cylinderne foregikk kontinuerlig. På fjell blev 5 stk. 1½" forankringsbolter innsatt og derpå den hele utgravede cylinder fylt med betong. De under fundamentmurene innlagte jernbjelker blev derpå med jernkiler fastkilt mot betongpillarene, hvorefter pakning og innstøping av jernbjelkene blev foretatt. Der blev ialt støpt 24 betongpillarer, hvorav 5 stk. som utgjorde endel av midtveggen i tunnelen fikk rektangulært tversnitt; 8 stk. cylindriske pillarer som utgjorde endel av tunnelens yttervegger ble helstøpte op

til tunnelbunn. Fra tunnelbunn blev innsatt forskaling motsvarende tunnelveggens innerside, og pillarene derpå armert og opstøpt til tunneltak. Gavlveggen mot Bogstadveien 47 ble understøttet ved armerte utkragninger fra pillarene.

Samtlige de pillarer som utgjorde endel av tunnelen blev armert og støpt i blandingeforhold 1:2:3. De øvrige pillarer utenfor selve tunnelen utførtes i blandingssforhold 1:3:4 uten armering. Der blev envidere nedpresset 6 stk. jernbetongpeler av 36 cm diam. til fjell. Disse peler ble utført hule etter ing. Selmers patent for etter nedpressningen å kunne bore i fjell og anbringe fornødne forankringsbolter (2" diam.). Fig. 3 og 4 viser plan og snitt av fundamenteeringen, som ble utført uten at noget uhell inntraff likesom heller ikke sprekker eller setninger kunde merkes på gården.

Valkyriegaten 2 var hermed fundamentert på fjell, men av hensyn til nabogården, Bogstadveien 47, som likeledes hvilte på lere og hvor tunnelen går tett inn på gavlveggen, måtte tunnelarbeidet fremdeles drives med største forsiktighet. For tunnelens yttervegger ble derfor nedpresset en dobbelt jernspuntvegg av „Larsen“-jern prof. nr. 2 og 4 til fjell i en innbyrdes avstand av 1,25 m. For å undgå eventuelle setninger i Bogstadveien 47 blev utgravingen mellom jernspuntveggene foretatt seksjonsvis med kun 3 m lengde ad gangen og veggens forankret til fjell og opstøpt til tunneltak før næste parti av utgravingen påbegynts.

Da der i høire vegg på enkelte steder var yterst knap-

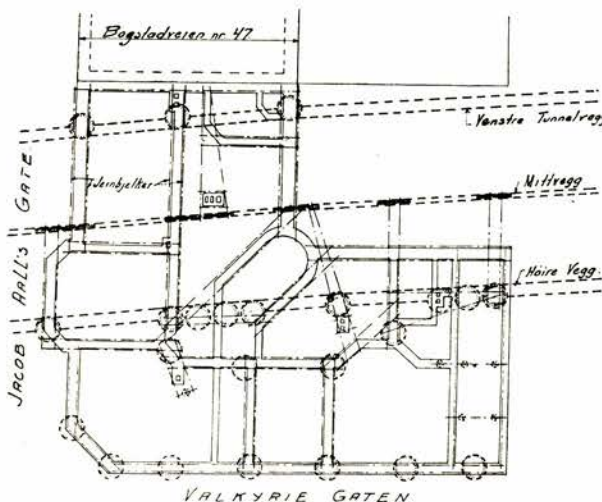


Fig. 3. Grunnplan — Valkyriegate 2.

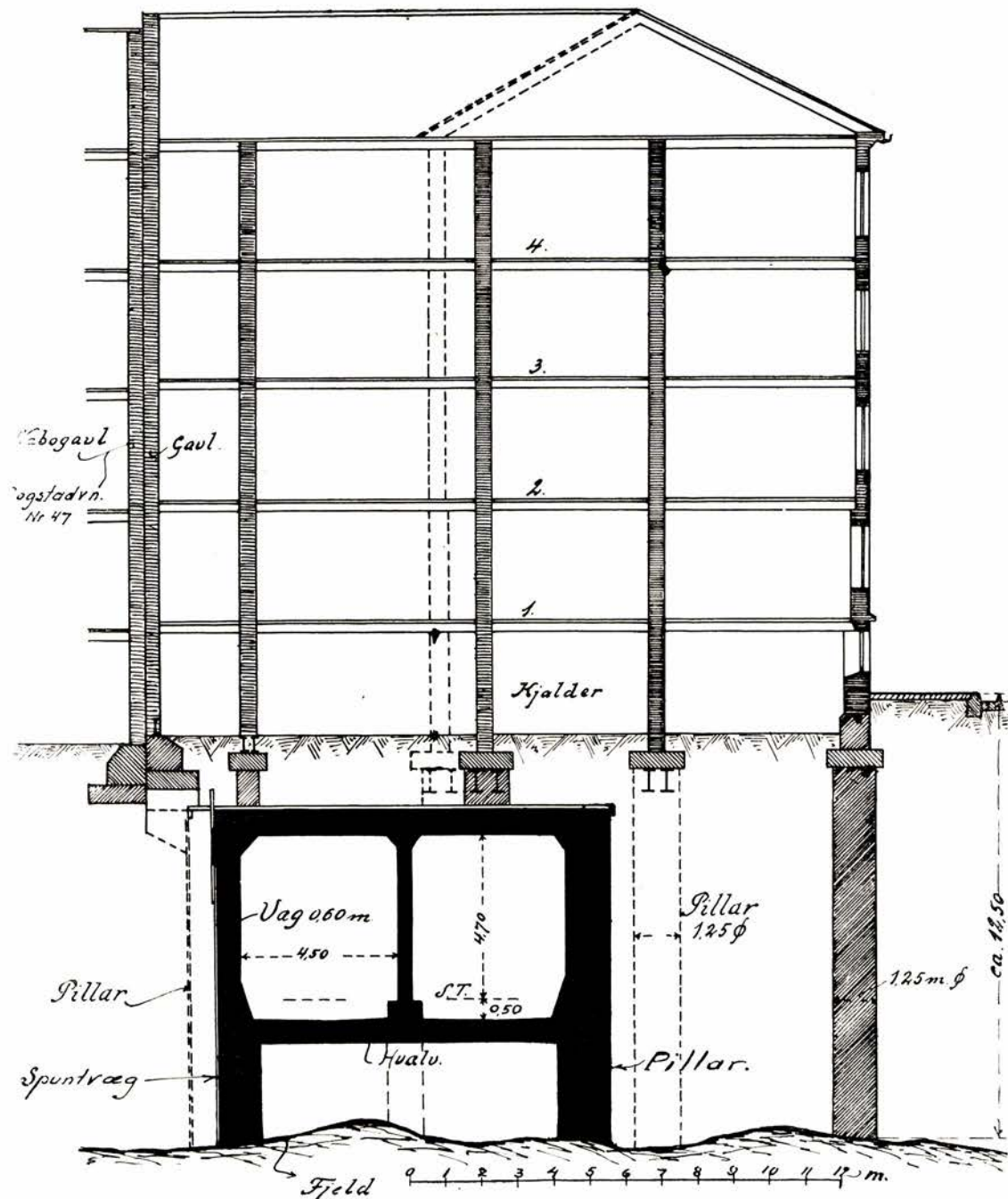


Fig. 4. Snitt gjennom Valkyriegaten 2.

arbeidsrum så nedpresning av jernspuntvegg vilde bli meget omstendelig, blev istedenfor spuntvegg anvendt 4 stk. cylindriske pillarer ført ned til fjell i likhet med de tidligere anbragte.

Efterat begge yttervegger på denne måte var ferdigstøpte, blev utgraving for taket foretatt, forskalingen lagt direkte på leren, og taket derpå ferdigstøpt i seksjoner og forbundet med sideveggene og de nedsatte pillarer for midtveggene. Membranisolasjon med beskyttelseslag ble lagt på taket og ennvidere ble de før under grunnmurene anbragte jernbjelker som krysset tunneltaket pakket med betong

mot dette i hele sin lengde. Når hele profilet var tilstrekkelig avbundet kunde den egentlige utgraving for tunnelen påbegynnes og blev fullført uten uhell. Tunnelbunn blev derpå utstøpt. Hvor fjellet lå mere enn 1,0 m under tunnelbunn blev anordnet hvelv av 4,0 m spennvidde på pillarer ført ned til fjell. Til slutt utstøptes den resterende del av midtveggen, likesom mellomrummene mellom de nedsatte pillarer i ytterveggene ble gjenstøpt og det hele planert.

Tunnelproffilet under Valkyriegaten 2 såvel som under de for tiden ubebyggede tomter av Valkyriegaten 4 & 6 er beregnet til å opta vekten av en 6 etasjes murgård.

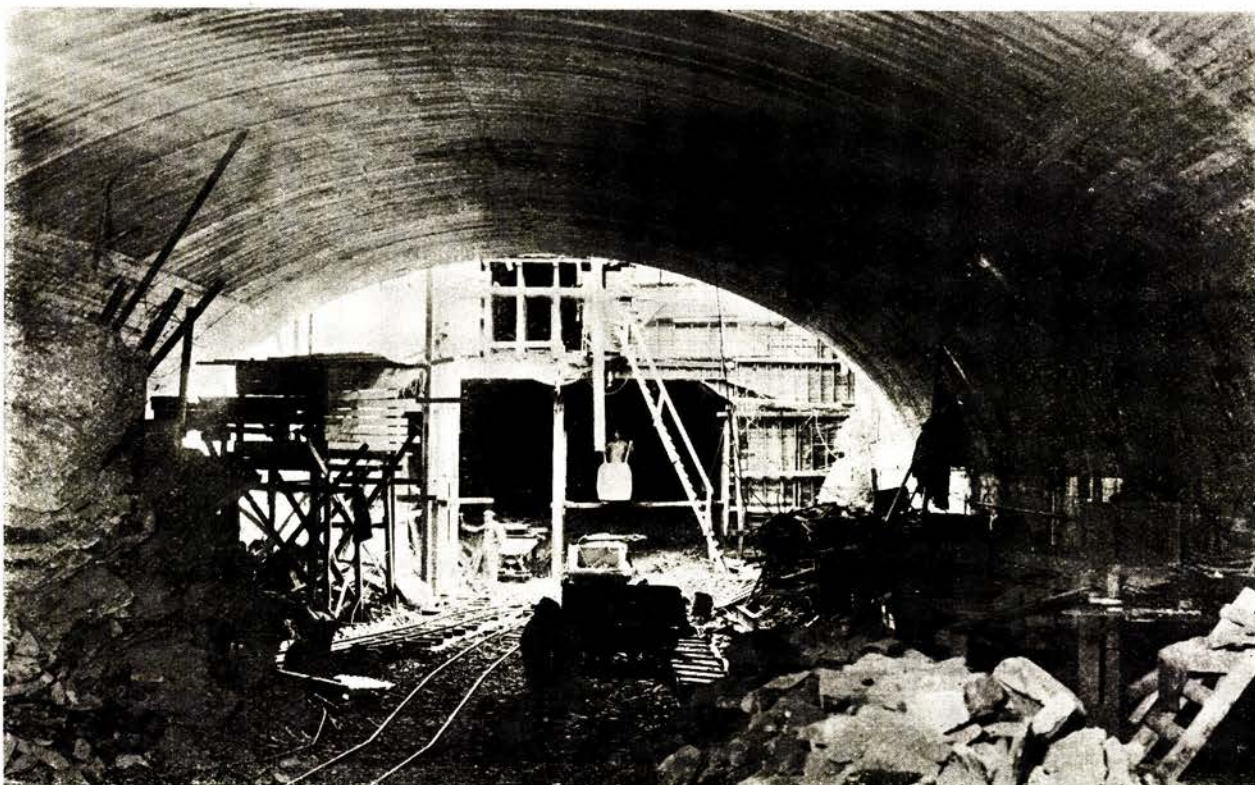


Fig. 5. Valkyrie plass stasjon, sett mot trappgangen.

På Valkyrie plass stasjon blev, efterat hvelvet var ferdigstøpt, de øverstliggende jordlag under hvelvet lastet direkte på vogn og bortkjørt med hest, mens de dypere liggende masser blev opheist ved hjelp av en 19 m høi derrick-kran med 3 tonn løftevne. Fig 5 viser situasjonen under hvelvet i september 1927.

Ved pel 169 + 2,5 (se fig. 13) blev påtruffet en eiendomsmelig geologisk formasjon idet en fjellspalte ca. 0,6 m bred skar tunnelretningen omrent vinkelrett. Denne spalte var fylt med lersuppe til ca. 0,5 m under tunnelbunn, og videre nedover var den fylt med knust lerskifer. Ved nedramming av jernspuntveggene og ved senere utgraving voldte denne fjellspalte adskillig bryderi, så stykke for

stykket av spalten måtte tettes ved betongstøping forankret i fjellet, før sideveggene kunde stopes.

Før arbeidet i den ved tunnelbunn ca. 35 m brede dyprenne mellom Sorgenfrigaten og Valkyrie plass st. påbegyntes blev en prøvesjakt utgravet i 18,5 m dybde til fjell ved km 1,67. Det øverste lerlag var meget fast, men i en dybde av 7–11 m under gaten, blev leren næsten flytende, og da tunnelbunnen ligger i en dybde av ca. 12 m måtte der av hensyn til de nærliggende gårder treffes særskilte foranstaltninger for å sikre sig mot eventuelle katastrofer.

Her blev det derfor etter forslag av ingenør F. Selmer anvendt en meget betryggende arbeidsmetode for å komme over denne dyprennen, idet en kontinuerlig rekke av jerncylinder, innbyrdes forbundne, blev nedrammet til fjell på begge sider av tunnelprofilet. Disse jerncylinder ble derpå utgravet og istøpt betong. De utgjorde ytterveggene for den endelige tunnel.

Før jerncylinderne anbragtes, blev jernspuntveggen nedrammet til begge sider av tunnellen ved hjelp av en almindelig rambukk med 1800 kg lodd, og massene utatt i åpen skjæring til ca. $4\frac{1}{2}$ m under gatenivå. Jernspuntveggene blev avstivet med treavstivning samt dessuten forankret med jordankere. Denne treavstivning tjente dessuten som arbeids- og transportsstillas.

Hver jerncylinder hadde en diameter av 1,335 m og var sammensatt av 20 stk. „Simplex steel sheet piling”, fig. 6. Bøining av disse spuntveggjern etter cirkelbuen blev

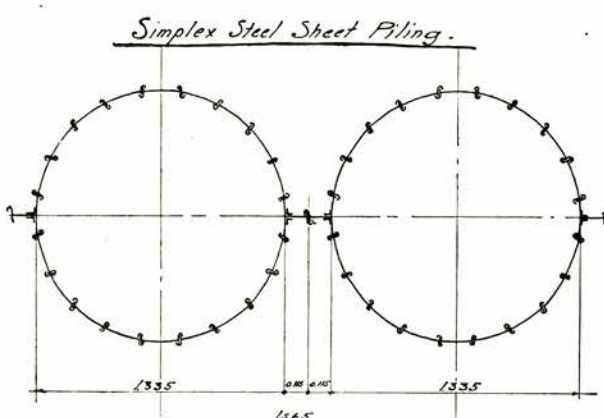


Fig. 6.



Fig. 8. Valkyriepllass.

foretatt på arbeidsstedet med en dertil anskaffet elektrisk drevne maskin. Da cylindrene måtte være forbundet med hinannen, så de, når nedrammet dannet en hel vegg, blev på arbeidsstedet vinkeljern påklinket cylindrene ved hjelp av en elektrisk drevne bor- og pressluftklinkemaskin. Hver cylinder ble montert liggende i treformer, og til sammendragning av spuntveggjernene til hel cylinder anvendtes en „Little Tugger“ pressluft vinsj. Fig 7 viser montering av jerncylindrene og fig. 8 og 9 situasjonen på arbeidsstedet.

Innvendig ble jerncylindrene avstivet ved cirkulære treavstivninger. Den ferdig monterte cylinder blev på skinnegang transportert til byggestedet hvor opheisning og noiaktig plassering ble foretatt med en flyttbar kran, 17 m høi med en $4\frac{1}{2}$ m utligger og 8 tonn løfteevne. Til nedramming av cylindrene benyttedes en 2 tonn „Union Iron Works“ damphammer ophengt i den flyttbare kran. Fig. 10 viser jerncylindrene opstillet før nedramning og fig. 11 under nedramming. Da samtlige cylindre skulde være sammenhengende måtte man ved nedramning iaktta den pinligste nøiaktighet for å få spuntveggjernene loddrett ned og på riktig plass. På det dyreste parti av dyprennen blev forbindelsesjernene mellom cylindrene ikke drevet helt ned til fjell for ikke å hindre den fri passasjen av det cirkulerende grunnvann. Nedramningen foregikk helt pro-

grammessig, og det viste sig ved senere utgravning at cylindrene stod perfekt centrert og at kun 4 spuntveggjern ikke var nådd helt ned på fjell. Der blev i gjennomsnitt nedrammet ca. 12 l. m cylinder pr. skift og i alt blev 42 stk. cylindre nedrammet.

Utgravning av cylindrene ble foretatt med en „Orange peel bucket“ ophengt i en transportabel vinsj med utligger. Utgravningen foregikk meget hurtig. Således kunde eksem-



Fig. 7. Seksjon 2. Montering av jerncylinderne.



Fig. 9. Valkyrie plass.

pelvis en 12 m lang cylinder bli utgravet og opstøpt til tunnelbunn i løpet av ca. 10 timer. I bunnen av de dypeste cylindre var et vannførende sandlag. For å undgå utpumping av grunnvann, ble stopningen for disses vedkommende utført som almindelig undervannsstøping. Samtlige cylindre blev forankret til fjell med 6 stk. bolter $1\frac{1}{4}$ " diam., armert op til tunnelbunn og helt istøpt betong. Fra tunnelbunn av sattes forskaling inne i cylinderen nøyaktig etter innersiden av tunnellens yttervegg, det hele armertes og opstøptes til underkant tunneltak. Fig. 12 viser snitt av

tunnelen gjennem dyprennen, og fig. 13 lengdeprofil og plan av samme.

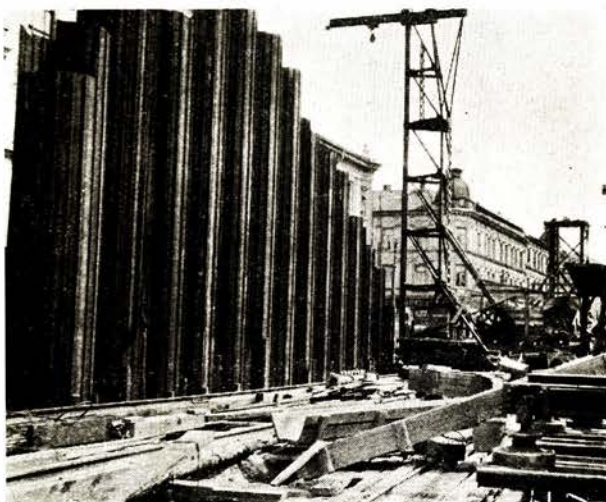
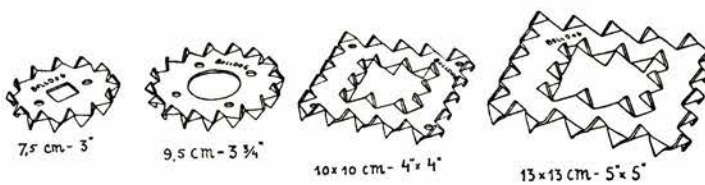


Fig. 10. Seksjon 2. Ned amning av jerncylingerne.



Fig. 11. Seksjon 2. Nedramming av jerncylingerne.



BULLDOG
STANDARDFORBINDERE
FOR
TRÆKONSTRUKTIONER

I løpet av syv år har tusener bygningsfagfolk i 40 lande ved sine bestillinger gjort BULLDOG til verdens standardforbindere for trækonstruktioner. Praktisk og theoretisk gir BULLDOG den høieste opnåelige varige nyteeffekt med mindste omkostning.

Forlang brochure, monstertegninger, prøver etc. fra enefabrikanten:

Ingénør O. THEODORSEN, Oslo

Kirkegaten 8

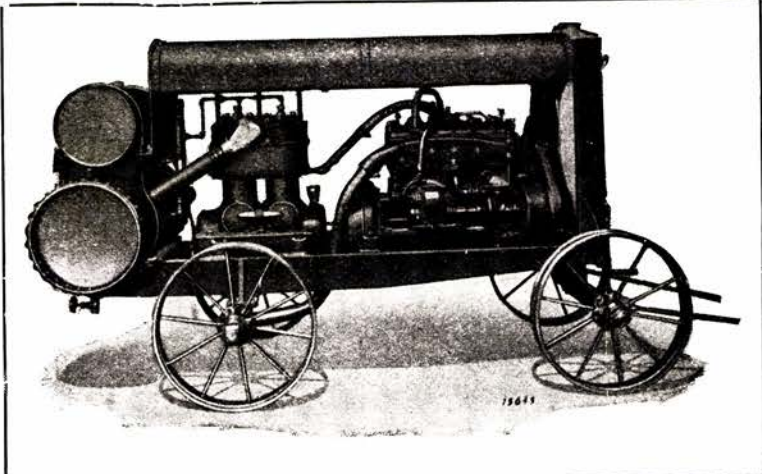
Tel 26127. Telegr.adr.: „Dogbull“

J. HAAK & CO JERN:STAAL
ANLEGGSMATERIEL.

Ingersoll-Rand Co.s

TRANSPORTABLE

Luft-
Kompres-
sorer



med bensinmotor. Kan også leveres med elektromotor

Maskin & K. Lund & Co., Oslo

TELEGRAMADRESSE: „ISOLATION“

TELEFON: CENTRALBORD 29875

Aluminium kabler Stål-Aluminium kabler

Det beste og billigste ledningsmateriell

Anerkjent av alle autoriteter

Vi projekterer og bygger komplette kraftledninger
Kurante dimensjoner føres på lager

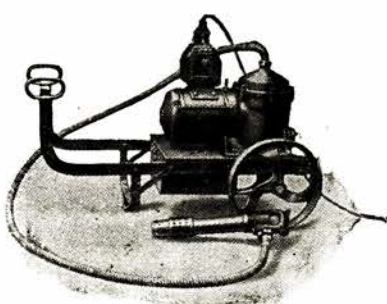
Forlang priser og oplysninger

Aktieselskapet

Norsk Aluminium Company

Hovedkontor: HØYANGER

Sekretariat og Direksjon: OSLO



TRANSPORTABLE, ELEKTROPNEUMATISKE
klinke-, meisle- og boreanlegg

uten kompressor, for monteringsarbeider, mindre verksteder etc.
fra lager i forskjellige typer. Flere anlegg i drift her i landet.

Spesialverktøy for stenboring.

Ingeniørforretningen ATLAS A/S

STORTINGSGATEN 4, OSLO

A/s DAHL JØRGENSEN & CO.

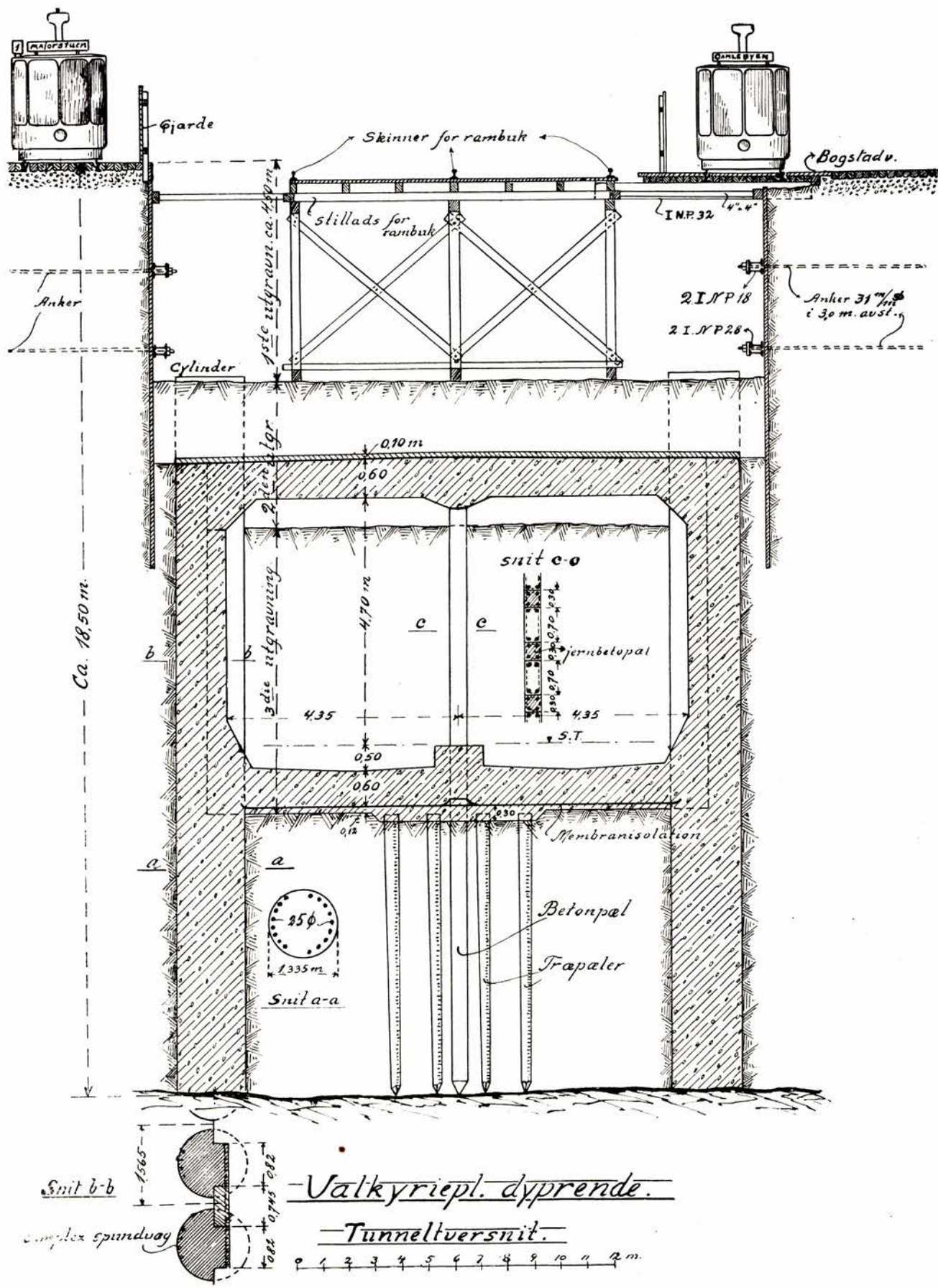
Telefonnr: 23 217 - 25 408 - 24 805

OSLO

Telegramadr.: DAHLJØRG

LANDETS ELDSTE OG STØRSTE STÅLBELKEFORRETNING

*Anbefaler for levering fra lager og fra verk
Stålbelker, Kanalstål, Parallelflangede Differ-
dinger-Greybelker, Vinkelstål, T-stål, Plater,
Monierjern etc.*



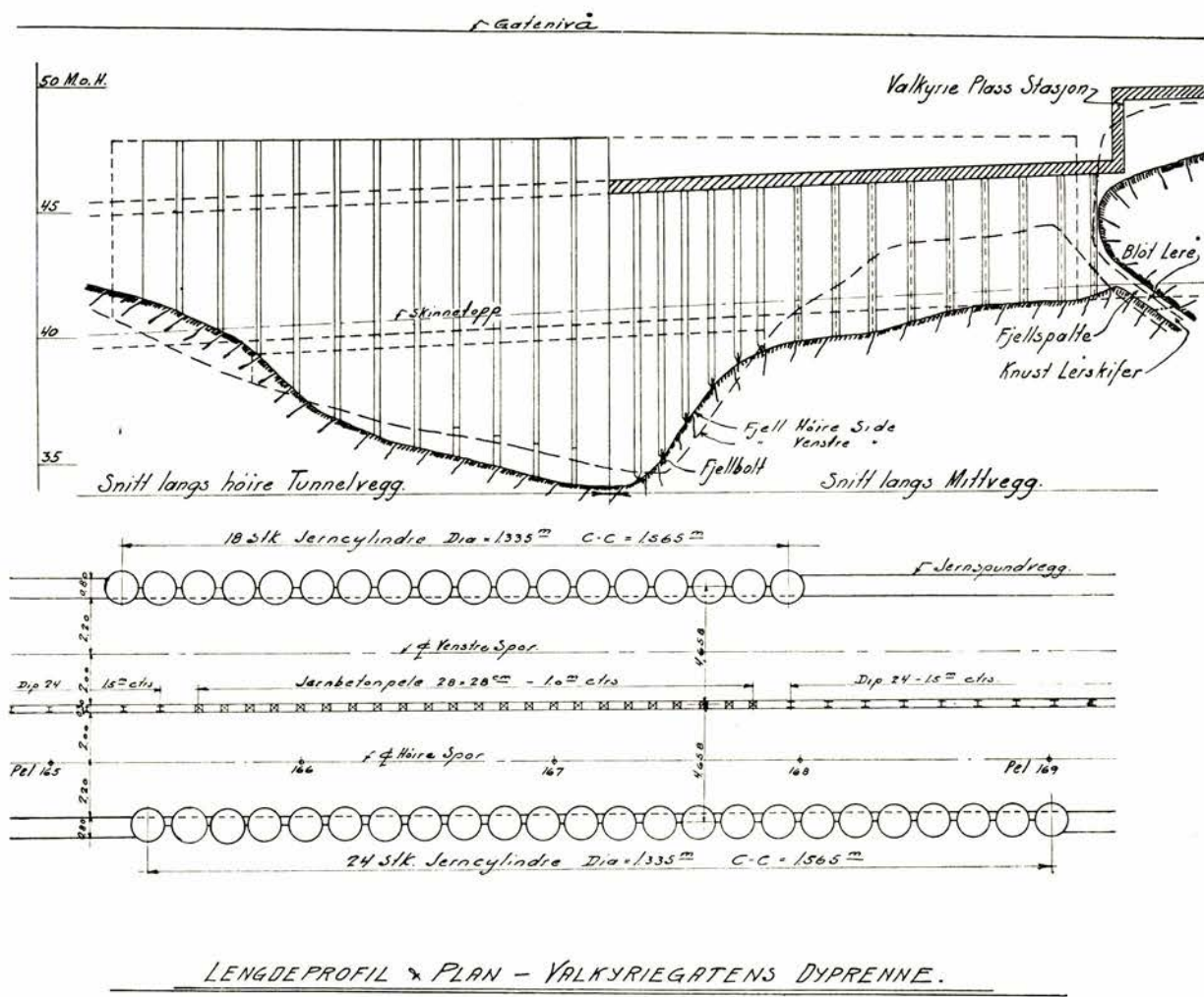


Fig. 13.

For tunnellens midtvegg og i dennes fulle høide blev på det dypeste parti av dyprennen nedrammet jernbetongpeler 28×32 cm i 1,0 m avstand. Til begge sider av dyprennen, hvor tunnelbunnen lå i fjell, anvendtes istedenfor jernbetongpeler jernsøiler Dip. nr. 24 i 1,5 m avstand til understøttelse av taket. Til nedramming av pelene anvendtes en 17 m høi rambukk med 1800 kg lodd. Da midtveggen hadde en tykkelse av kun 30 cm måtte også her den største nøyaktighet ved nedramningen utvises for å få pelene loddrett ned og i linjeretning. Som det senere visste sig var samtlige peler drevet ned på riktig plass uten nogen avvikelse.

Utgavning for tunneltak foregikk derpå i seksjoner på 4 m, forskalingen blev lagt på leren, og tunneltaket støpt og forbundet med pelene i midtveggen og med de tidligere opstøpte sidevegger, idet halvparten av cylinderjernene blev avbrent under tunneltaket. Membranisolasjon med beskyttelseslag blev så lagt på taket.

Da tunneltaket var forbundet påbegyntes utgravning for tunnelprofilen ned til tunnelbunn, idet de uttatte masser blev lagt ovenpå taket.

Som fig. 12 viser blev for understøttelse av bunnplaten

ekstra trepeler i avstand 0,9 m i lengderetning presset ned til fjell. Et betonglag blev støpt på bunnen med tykkelse 30 cm over pelehodene og for øvrig 12 cm tykt. På dette betongunderlag blev membranisolert, hvorpå tunnellens armerte bunnplate blev støpt i seksjoner på 4 m og forbundet med sideveggene, hvor halvparten av cylinderjernene på forhånd var avbrent. De nedramte peler i midtveggen blev så helt innstøpt likesom mellummennene mellom cylindrene i sideveggene blev utstøpt og det hele avplanert.

Betongens blandingsforhold var for sideveggene 1 : 2 : 3, for bunnplate, midtvegg og tak 1 : $2\frac{1}{2}$: $3\frac{1}{2}$, for beskyttelseslag for membranisolasjon i bunn og tak 1 : 3 : 5. Der anvendtes cement fra Slemmestad, sand fra Svelvik og pukk fra det på arbeidsstedet utsprengte fjell. En stentygger med transportsator og silo var montert på arbeidsstedet til knusning av stenen.

Prøver av betongen viste en trykkfasthet av:

250 kg/cm ² etter 7 døgn	Blandingsforhold 1 : 2 : 3
310 — " 28 "	
190 — " 7 "	Blandingsforhold 1 : $2\frac{1}{2}$: $3\frac{1}{2}$
290 — " 28 "	

All betong blev maskinblandet, idet i alt 3 forskjellige blåndemaskiner var i virksomhet. For bøning og kutning av armeringsjern anvendtes en elektrisk drevet maskin.

Fra km 1,655 hvor tunnelbunn etter treffer fjell og videre til km 1,59 stiger fjellet jevnt oپover. Da man på dette parti krysser Sorgenfrigaten måtte man, før utgravning for tunnellen påbegyntes, anordne en provisorisk bro, så gate- og sporveistrafikk kunde foregå uhindret. Efter at alle elektriske ledninger, vann- og kloakkledninger var om lagt, blev „Larsen“-jernspuntvegg nedrammet til fjell på begge sider av tunnellens yttervegger. Ennvidere blev en dobbelt rekke med trepeler nedrammet til fjell langs midtveggen og ovenpå pelene anbragtes 2 stk. langsgående I-jernbjelker nr. 38. Jernspuntveggene blev avbrennt 0,5 m under gatens nivå og jernbjelker nr. 32 i avstand 0,8 m ble lagt fra spuntvegg til spuntvegg kontinuerlig over midtpelene. Disse jernbjelker blev forbundet med jernspuntveggene således at de foruten å opta vertikalkrefter fra gatetrafikken også tjente som toppavstivning for spuntveggene til optagelse av horisontale krefter fra jordtrykk. Et lag med 4" x 4" boks ble lagt tett i tett ovenpå I-jernbjelkene, derpå plankedegs i gatens nivå.

Arbeidet med uttagning av masser kunde derpå foregå under denne provisoriske bro, og jernspuntveggene ble ettersom massene fjernedes avstivet med jernbjelker på samme måte som beskrevet ved Kirkeveien i „Meddelelsene“ nr. 6 — 1926. På fjell ble jernspuntveggene fastboltet og innstøpt.

Tunnellens rektangulære tverrsnitt er bibeholdt til ca. km 1,64.¹⁾ Herfra og til ca. km 1,60 lå fjellet såpass høit at hvelv kunde anvendes. Vederlag for hvelvet ble utsprengt som grøfter i fjellet, stillas med forskaling anbragt på det avdekkede fjell og hvelvet armert og støpt med spesialcement i seksjoner fremover til km 1,60. Membranisolasjon med beskyttelseslag ble pålagt. Den resterende utsprengning til fullt profil ble foretatt under hvelvet og opheisning av massene utført ved hjelp av 2 stk. heisetårn

med selvtilpippende kasser. På toppen av hvelvet ble først lagt et 1,0 m tykt lerlag, hvorpå stenfylling. De siste 10 m til km 1,59 ble utsprengt som almindelig fjelltunnel og derpå utført.

Fjell og tunnellsprengning foregikk med maskinboring og der var til drift av de forskjellige pressluftmaskiner innstallert 2 elektrisk drevne kompressorar på 7 m³ og 3 m³ luft pr. minutt under 7 atm. trykk. All skytning måtte foregå ytterst forsiktig. *Instruksen* for sprengningsarbeider gjeldende for hele anlegget var sålydende:

„All fjellsprengning i åpen skjæring såvel som tunnel må foregå med korte borhull — gjennomsnitt ca. 1,5 m lange — og små ladninger. Ingen store „tak“ er tillatt.

Som maksimalladning pr. borhull blir å anvende inntil 0,5 kg dynamitt. For samtlige strossehull nærmest tunnel taket må kun anvendes en maksimal ladning av 0,3 kg dynamitt pr. borhull. Ved vanskelige partier foretaes ytterligere reduksjon av ladningsstørrelsen etter nærmere bestemmelse for hvert enkelt tilfelle.

Brenning av borhull og salveskytning er forbudt. Avfyring av borhull må skje med tidsintervaller på sådan måte at compound-rystelser ikke opstår. Antall skudd pr. minutt settes derfor lik 7 som maks. idet lunten avskjæres i lengde differanser på 8 cm.

Ingen skytning må foregå mellom kl. 10 aften og kl. 7 morgen. Kontrollbok føres over skytningen.“

Virkningen av skytningen ble til stadighet kontrollert og seismografiske målinger til bestemmelse av vertikale og horisontale svingninger ble foretatt.

Anleggsarbeidet på seksjon 1 og 2 begynte i mai 1926 og ble regelmessig drevet med dobbelt skift med en arbeidsstyrke op til 170 mann og 40 vognmenn samt arbeidsmaskiner på i alt 310 HK. Av masser er uttatt 46 000 m³ lere og 10 000 m³ fjell.

Ingeniør L. Overdale har hele tiden hatt den direkte ledelse av dette vanskelige anleggsarbeide for sitt firma.

Oslo i mars 1928.

PUMPEANORDNING FOR SPYLING AV BORHULLER

Efter overingeniør O. Størens skrivelse til Hovedstyret av 13. oktober 1928.

Der har i de siste år ved Sørlandsbanen inntruffet et par skyteulykker som med overveiende sannsynlighet skyldes utilstrekkelig avkjøling av borhullet etter brenning. Kjølevannet har antagelig funnet sig vei i spreker og slepper som er opstått ved brenningen, og er i liten grad, eller kanskje slett ikke, nådd frem til gryten. Vanskelighetene har særlig vært tilstede ved liggerhull og ved stigende borhuller (engelskmenn o. l.).

Avdelingsingeniør Fasting ved Sørlandsbanens 12. av-

deling har konstruert et hendig lite apparat som gir en sikker avkjøling på hvilket som helst sted i borhullet. Apparatets anordning og virkemåte er følgende:

En liten vingepumpe nr. 0 er montert på et trebenet stativ av $\frac{1}{2}$ " rundtjern og festet til dette med klemmer rundt nedre flens, ikke til ørene som er for svake. For at ikke vingene skal kunne böje seg, når man slår pumpekaftet ut i ytterstilling, er påskruet 2 jernarmer; i fig. 1 sees kaftet å hvile på den ene. Pumpen er forsynt med sugerør med bunnventil til å stikke ned i en bøtte; til utløpsrøret er koblet en gummislange og til denne et

¹⁾ Det på lengdeprofilen (i hefte 6, 1926) antydede øvre hvelv er således ikke kommet til utførelse.

$\frac{1}{2}$ " vannledningsrør av passende lengde. Dette rør er i ytterste ende forsynt med en del små huller (3 mm diameter) og lukket med en treplugg. Denne kan erstattes med en spiss av jern med eller uten hull for spyling. For i koldt vær å undgå frysning må pumpen tømmes etter bruken, hvilket skjer ved å løfte opp bunnventilen og løse tappeskruen på forsiden av pumpen. På bilde

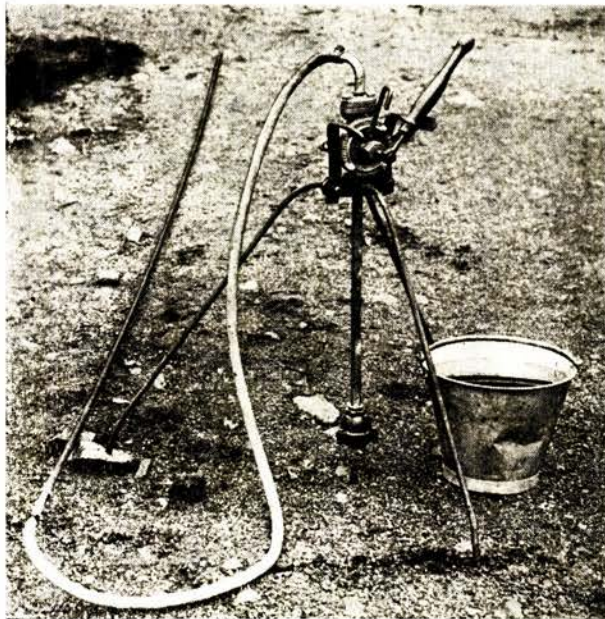


Fig. 1.



Fig. 2.

sees en skrunøkkel festet til tappeskruen. Hele anordningen kommer på 25–30 kr. Alle arbeidslag som har prøvet den er meget fornøyd og finner den tidsbesparende og sikker.

*

Efter oplysninger fra sakkynlig hold skulle bunnventilen ved så liten sugehøide, som det her blir, kunne sløfes. Dette vil også lette tømningen av hensyn til frost. — Heller ikke ansees de to jernarmer for nød-

vendige ved almindelig lempelig behandling, men det innrømtes at de kunde ha sin berettigelse ved særlig hårdhendt behandling. — Det anbefaltes å erstatte tappeskruen med en liten $\frac{3}{8}$ " prøvekran. Derved slipper man å passe på skruenøkkelen. — Ennvidere antaes det ved noget lengre tids bruk å være økonomisk fordelaktig å velge pumpe nr. 1 i steden for nr. 0, der er den minste i handelen forekommende, da prisforskjellen kun er et par kroner.

Red.

LITTERATUR

NORDISK JERNBANETIDSKRIFT — 1928

Hefte 7 og 8. Foredrag ved Nordisk Järnvägsmannaselskapets møte i Oslo: Jernbaner og automobiler av *Olav Holtmoen* med supplerende rapporter for Danmark, Finland og Sverige. — Översikt över det järnvägs-ekonomiska läget och framtidsperspektivet av *Lars Åkselsson* med supplerande rapport för Finland.

Hefte 9 og 10. Nordiske Järnvägsmannaselskapets 18. almindelige møte i Oslo: Protokoll, møtets program, styrelsersberetninger, regnskap med nogen vakre slutningsord af tidskriftets redaktør. Foredrag: Oversikt over jernbanens økonomiske stilling og fremtidsutsikter af *W. Herschend* med supplerende rapport for Norge. Ran-

gertraktorer, rangerspill, elektrokarrer av *R. Haarløw* med supplerende rapporter for Finnland, Norge og Sverige. — Et forslag til overveielse for jernbaner i anlegg og drift (om hindring av telens skadelige virkning) av fhv. generaldirektør *Fleischer*. — Kvartalsuppgifter om trafik och ekonomi.

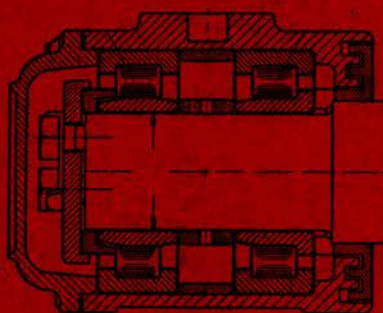
Nr. 11 og 12. Foredrag ved Nordiska Järnvägsmannaselskapets møte i Oslo 1928: Tillämpning av psykotekniska metoder vid Statsjärnvägarna i Finland av direktör ing. *Söderman* med supplerende rapporter for Sverige, Danmark og Norge. — Moderna spårvägsbyggander för linje och stora bangårdar av byråingeniören *Simonsson* med supplerande rapporter för Norge og Danmark. — Et forslag til overveielse (tilførelse). — *Saller*: Eisenbahnoberbau.

UTGITT VED TEKNISK UKEBLAD, OSLO

Abonnementspris: kr. 10,00 pr. år — Annonsepris: $\frac{1}{4}$, side kr. 80,00, $\frac{1}{2}$ side kr. 40,00, $\frac{1}{4}$ side kr. 20,00.
Ekspedisjon: Akersgaten 7 IV. Telefoner: 20701, 23465.

F & S

RULLE- og KULELAGERE



Komplette Akselkasser
for Jernbaner og Sporveier

KOLBERG CASPARY & CO.
INGENIØRER
OSLO

SIKA

tilsatt mørtel og betong gir følgende egenskaper:

1. *Avbindingstiden* kan på *forhånd* fastsettes fra *momentan* til normal avbinding.
2. Alle fastheter *øker* betraktelig.
3. Krympning under avbinding og herding *bortfaller*.
4. Motstår inntil 20 atm. vanntrykk.
5. Gjør det mulig å støpe og pusse i *rennende* vann og under sterkt vanntrykk uten utvaskning av cemenfen.
6. Beskytter betongen mot skadelige innvirkninger av *sulfat-, gibs-, kullsyre* og *humussyreholdig* vann samt sjøvann.

Representant for Norge:

Ingeniør Harald Henschien,
M. N. I. E.
Oslo, Røadhusgt. 28.
Telefon 24736.

Utfører alleslags isolasjons- og tetningsarbeider for reparasjoner og nybygg.

Den norske ingenierforenings forskrifter

Jernbetonkonstruktioner og Betonkonstruktioner

Pris kr. 3.00 + porto.

Føres i **Teknisk ukeblads ekspedisjon**, Akersgaten 7tv, Oslo

Tilsaigs i Teknisk ukeblads ekspedisjon

SÆRTRYKK

BETONGFREMSTILLING

av Ingeniør KRISTEN FRIIS

Pris kr. 1.00

Raußoss

Ammunisjonsfabrikker



STAALSTØPEGODS

PLATER OG BOLT

av kobber og messing

KULELAGRE

SLEPESKRAPEANLEGG



For grus, sand, kull, koks etc.

Nylig leverte anlegg i drift ved: Østfold Fylkes
Vævesen, Mysen, og A/S Sand og Singel, Svelvik.

STOR KAPASITET

Særdeles billig i drift. Rimelig i anskaffelse.

Nærmere opplysninger og tilbud etc. ved

MASKIN A/s PAY & BRINCK
P. O. 653 OSLO 22396 - 22496

AL ARMATUR for høitryksdamp

Utførelser i bronce,
staal med nikkel-
garnitur etc.



Alt moderne utstyr

Vore sanitær-, varme- og ventilationsanlegg er spredt i tusenvis
over hele Norge

E.Sunde & Co Ltd
OSLO

J. BERSTAD A/s

BERGEN

Telegramadr.: Jemberstad

Jern, Stål, Metaller
Støpegods, Jernvarer
Verktøy, Bygningsbeslag
Kjekkenutstyr

Stenredskap, Hakker, Spader, Anleggstrille-
bærer, Belgeblikk, Takpapp,
Vannledningsrør,
Smikull

SKINNER

VIKESPOR

TIPPVOGNER

HJULGANGER

LAGERE

OG ALLSLAGS MATERIELL FOR
JERNBANEANLEGG
LEVERES FRA LAGER

SIGURD STAVE

KONGENSGATE 10
OSLO